## II bilancio idrico per l'Emilia Romagna

Silvano Pecora Servizio Idro-Meteo-Clima ARPA Emilia-Romagna

Workshop "I bilanci idrologici e idrici. Stato dell'arte e prospettive future" Tavolo Nazionale di Idrologia Operativa | 9 Dicembre 2015

ISPRA
Via Vitaliano Brancati 48, Roma

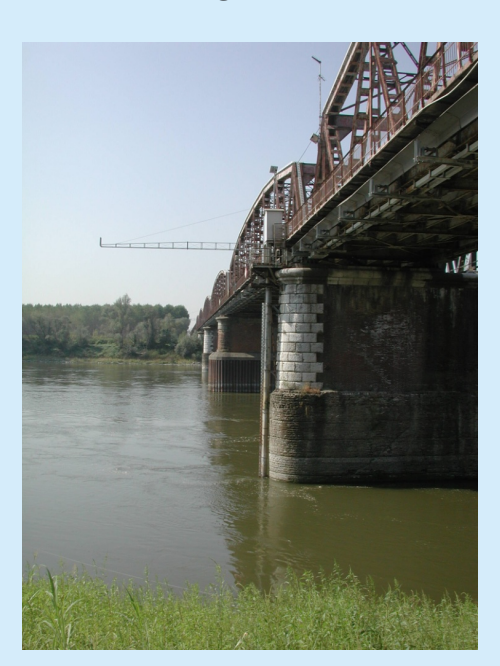
### Magre fluviali severità nel periodo recente



#### La magra del 2003 nel bacino del fiume Po

Dopo modeste quantità di neve durante l'inverno 2002-03, la primavera è stata caratterizzata da precipitazioni particolarmente basse.

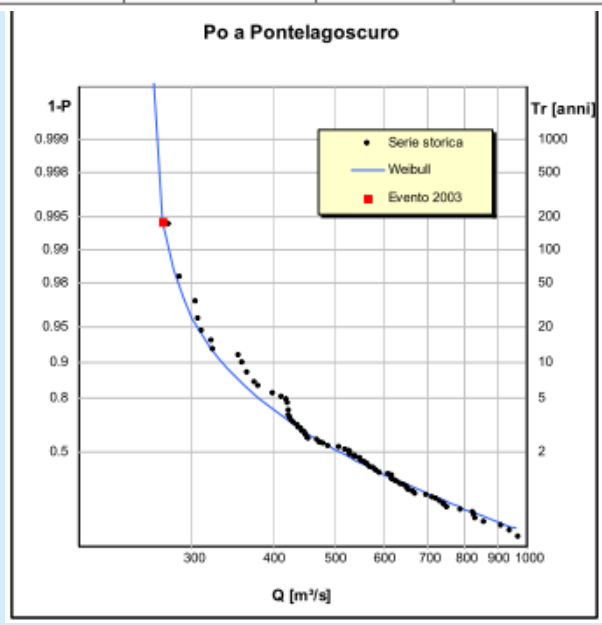
Nei mesi di Maggio e Giugno la persistenza di questa condizione, le alte temperature, maggiori della media stagionale, e l'inizio della stazione irrigua hanno comportato una riduzione significativa delle risorse idriche disponibili in tutto il bacino.



Stazione	Magr	a 2003	Magra minima in H			
Idrometrica	H [m]	<b>Q</b> [m <sup>3</sup> /s]	Data	H [m]	<b>Q</b> [m <sup>3</sup> /s]	
Piacenza	-0.67	262	Novembre 1869	-1.07	-	
Cremona	-7.60	310	Aprile 1997	-7.12	330	
Boretto	-4.32	320	Aprile 1997	-3.72	414	
Borgoforte	-3.34	347	Aprile 1997	-2.99	440	
Pontelagoscuro	-6.99	270	Agosto 1990	-6.76	366	



Le ridotte risorse idriche hanno causato danni ed inconvenienenti severi all'agricoltura, industria e navigazione, molto più che nel passato.



# Sistema di modellistica per la gestione delle risorse idriche dei bacini del Po, Reno e fiumi romagnoli

A seguito ai recenti eventi di magra succeduti nel bacino del Po il DNPC ha indicato l'Autorità di bacino come la sede più opportuna per affrontare la problematica e ad essa è stato chiesto di formalizzare un accordo (*Protocollo d'intesa finalizzato alla gestione unitaria del bilancio idrico del bacino idrografico del fiume Po ai sensi della legge 5 gennaio 1994 n.* 36) che, sulla base dei dati tecnici forniti dai soggetti coinvolti, definisse ruoli e compiti di ciascun soggetto per perseguire i seguenti obiettivi:

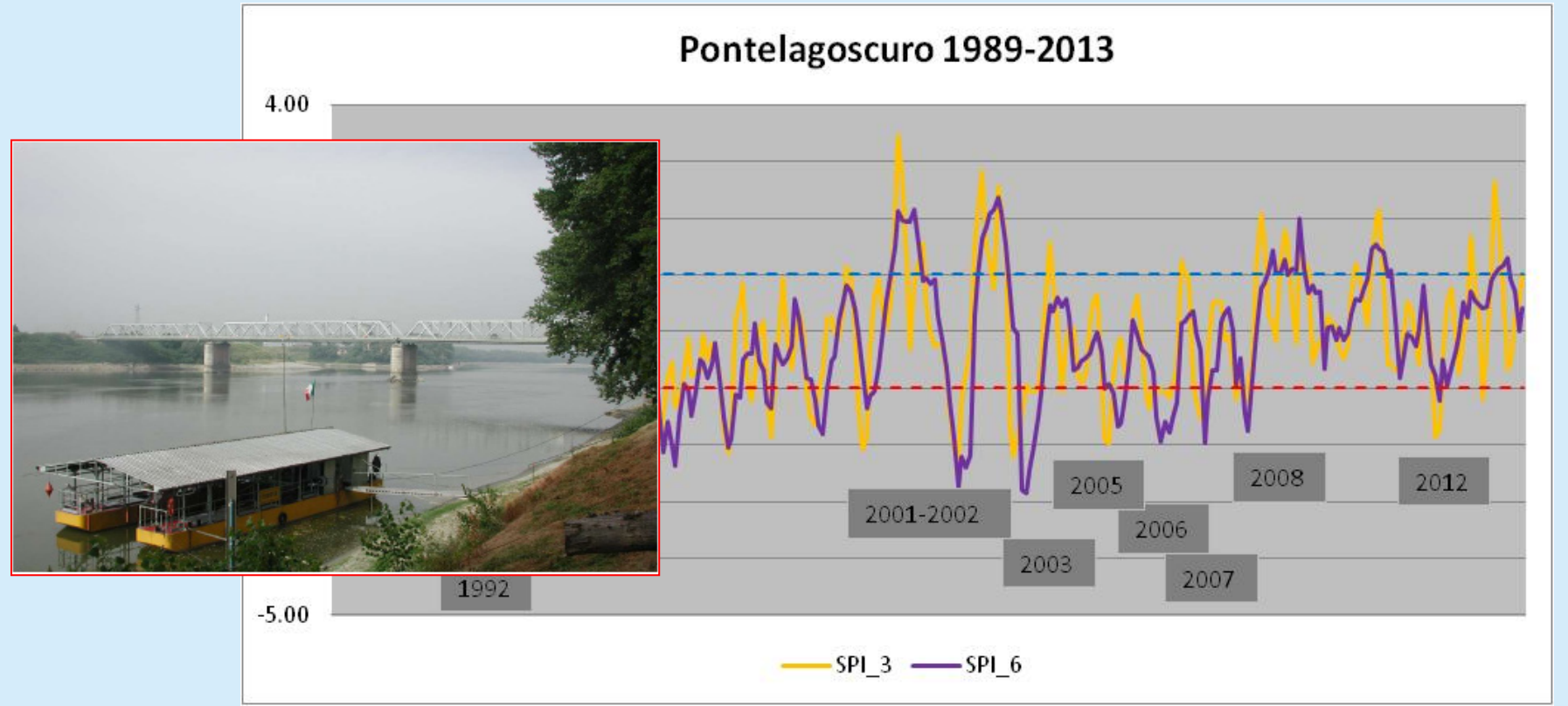
- mantenimento di minime indispensabili possibilità di prelievo per l'irrigazione a valle dei laghi e nell'asta del Po;
- mantenimento di valori di deflusso, nelle aste fluviali interessate da impianti termoelettrici, tali da garantire la massima produzione elettrica possibile, come richiesto dal GRTN.

Il sistema modellistico è implementato con una funzionalità che permette di ridurre l'entità dei prelievi in tempo reale e di verificare gli effetti sui deflussi

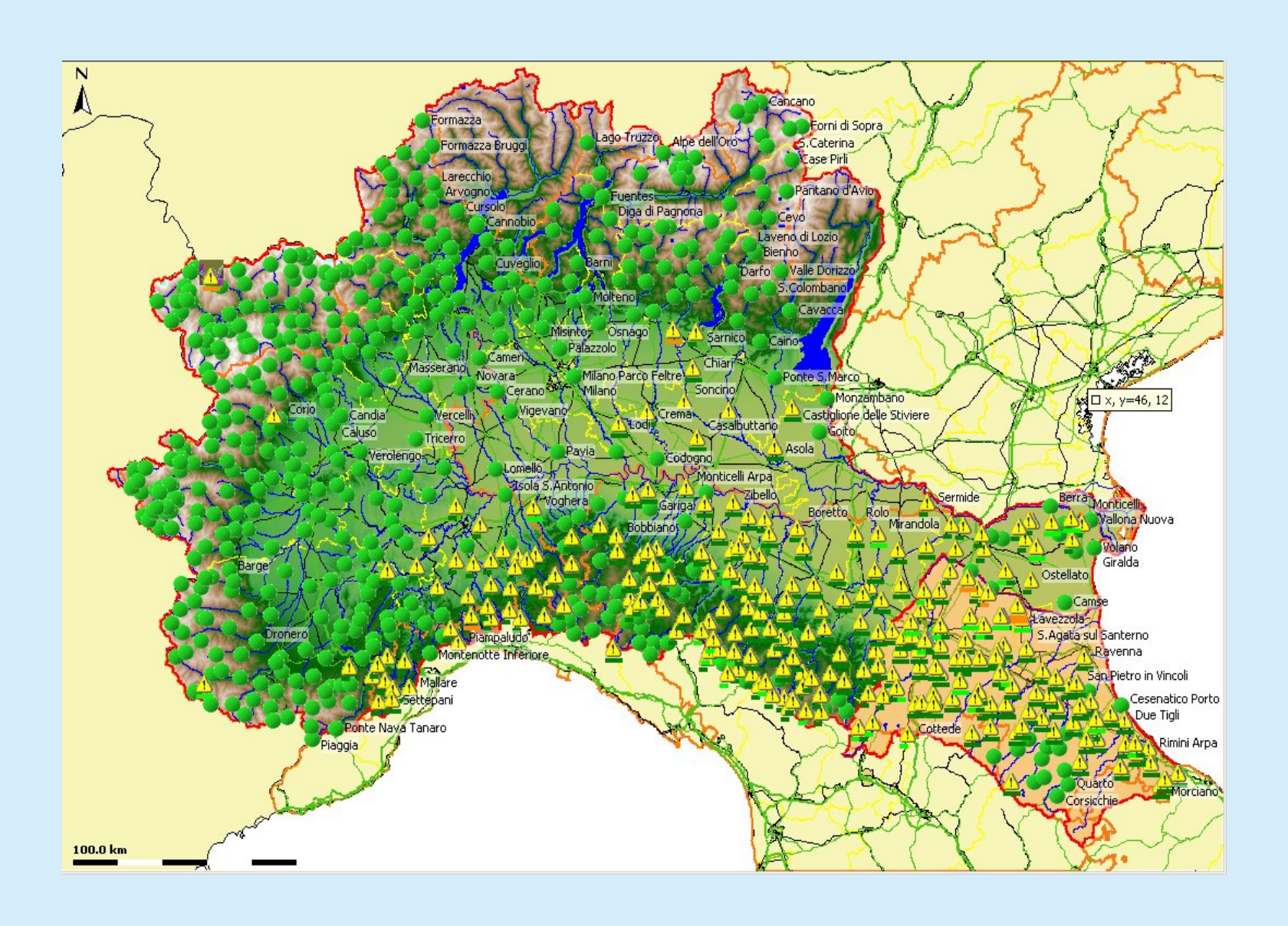
#### I principali eventi di magra fluviale nel bacino del Po

Durante gli ultimi 20 anni nel bacino del Po sono stati osservati impatti severi sul sistema antropico a causa degli eventi di magra fluviale.





#### Numero consecutivo di giorni non piovosi nell'estate 2012

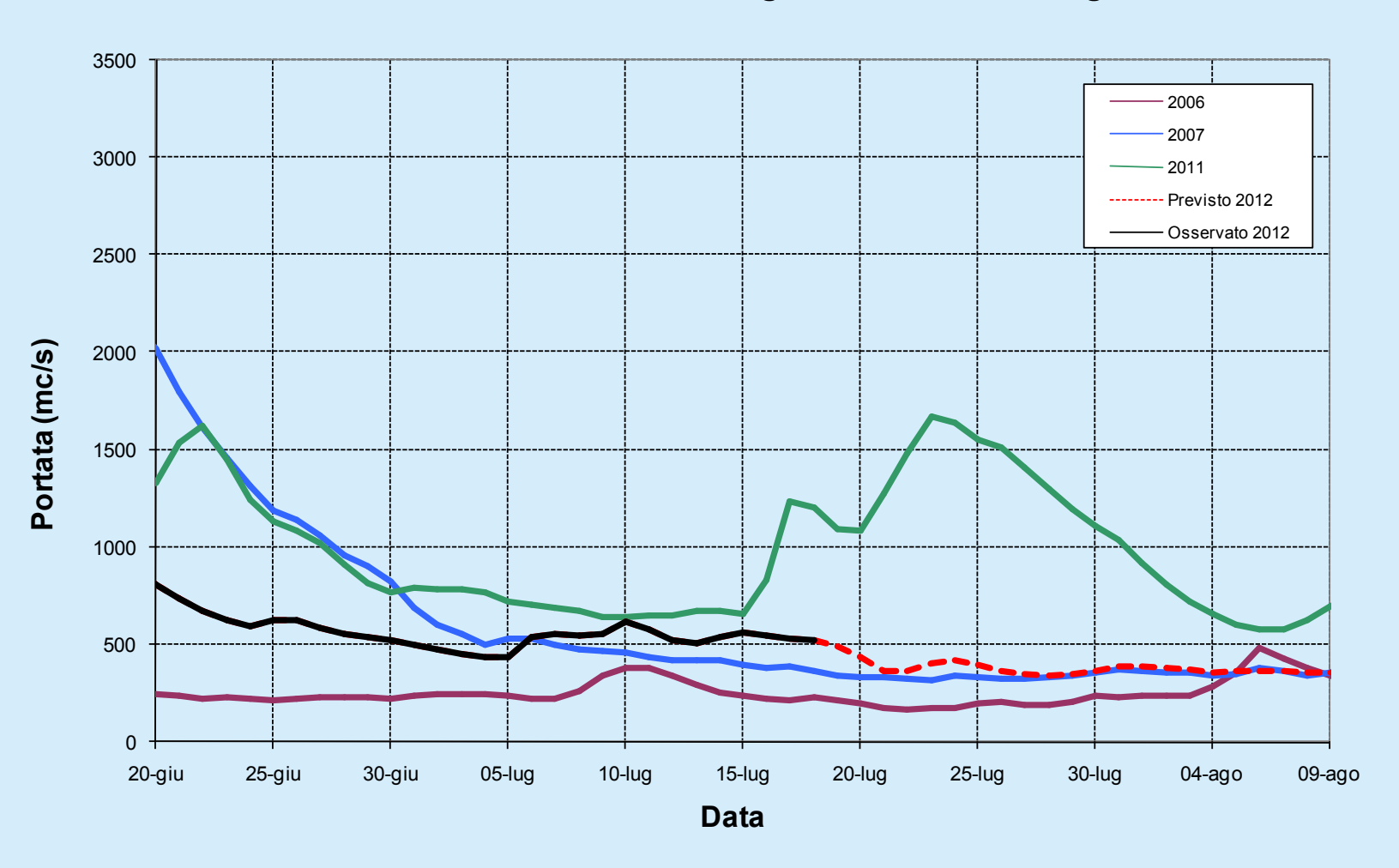


#### Numero consecutivo di giorni non piovosi nell'estate 2012

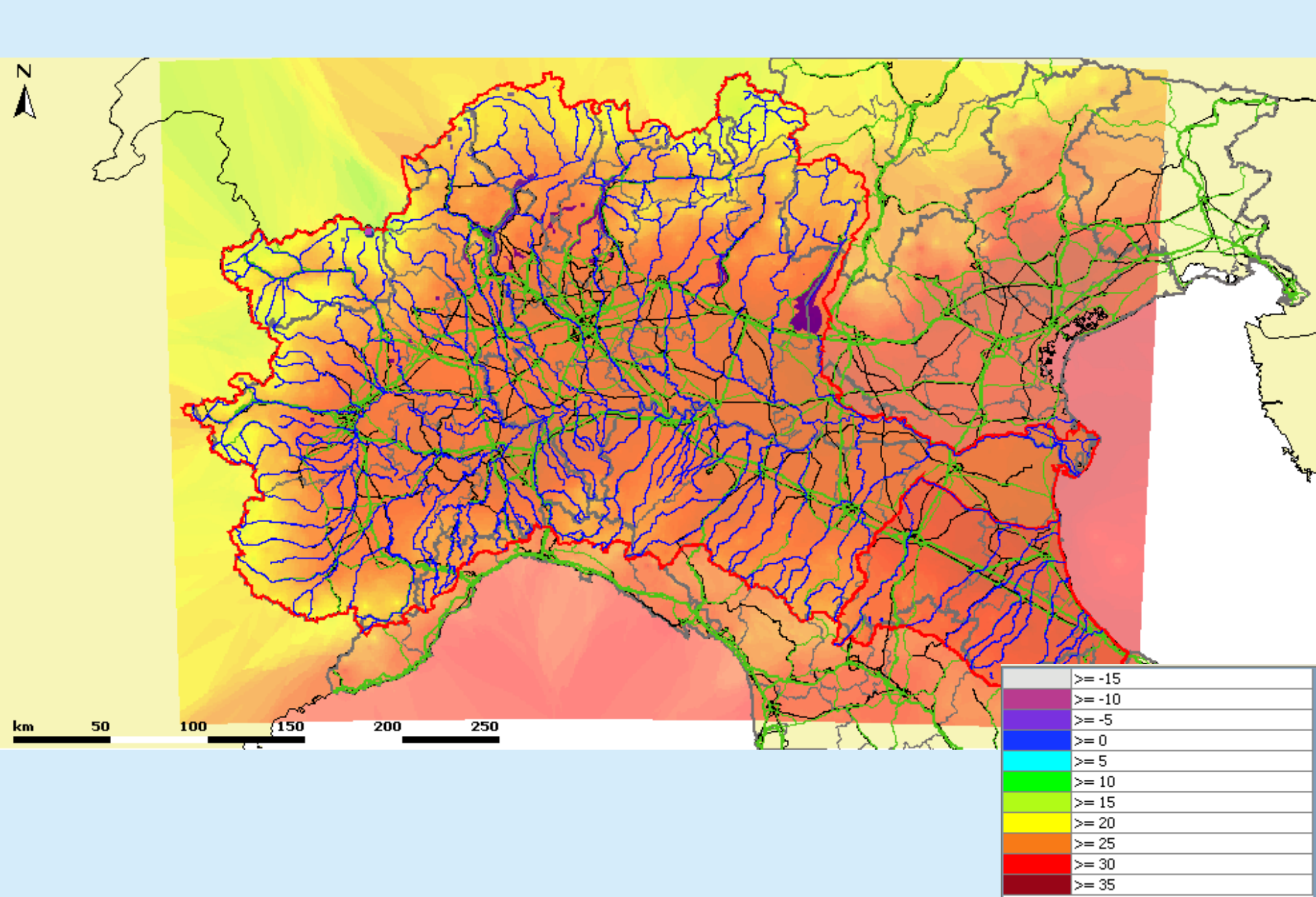
	<u> </u>	Formazza Bruggi	Cancano Forni di Sopra Caterina	A TENERAL PROPERTY OF THE PARTY
Stazione	Bacino	Numero di giorni non	Periodo di Ritorno, anni	~ ~ ~ ~ ~ ~ ~ ~ ~ ~ ~ ~ ~ ~ ~ ~ ~ ~ ~ ~
		piovosi		7/2/2
Casanova	Staffora	34	4.6	- S- S- ()
Piampaludo	Tanaro	34	5.4	The state of
Settepani	Bormida	37	4.1	
Sezzadio	Bormida	50	8.5	
San Nicolò	Trebbia	37	3.7	
Gropparello	Chiavenna	37	4.9	
Parma ARPA	Parma	37	10.6	x, y=46, 12
Boretto	Pianura tra Enza e Crostolo	37	13.2	
Reggio Emilia ARPA	Crostolo	35	6.4	
Mirandola	Pianura tra Secchia e Panaro	52	17.5	rmide Berra
Malalbergo	Reno	74	>100	mide Berra Monticelli Vallona Nuova
San Clemente	Reno	35	32.5	Volano
Le Taverne	Reno	35	12.1	Ostellato
Imola	Reno	35	18.3	Camse
Martorano	Savio	52	71.8	S.Agata sul Santerno
100.0 km	Ponte Nava 1 Piaggia	Montenotte Inferiore Mallare Stepani anaro		Ravenna San Pietro in Vincoli Cesenatico Porto Due Tigli Quarto Corsicchie Morciano

#### Riunione della Cabina di Regia del fiume Po - 20 Luglio 2012

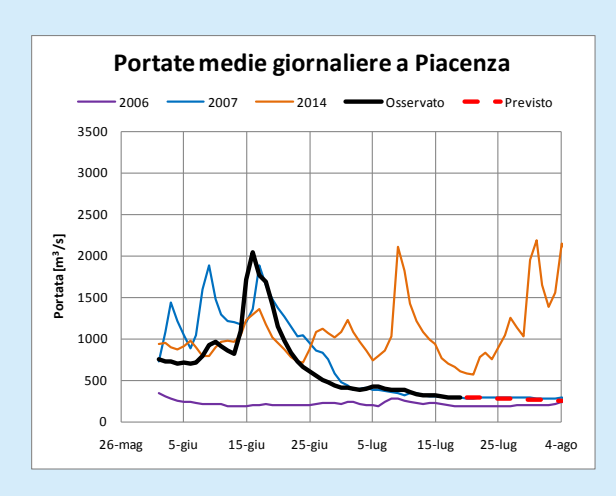
#### Portate medie giornaliere a Pontelagoscuro

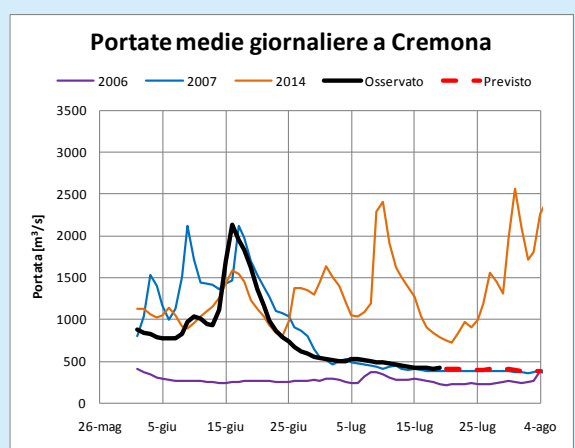


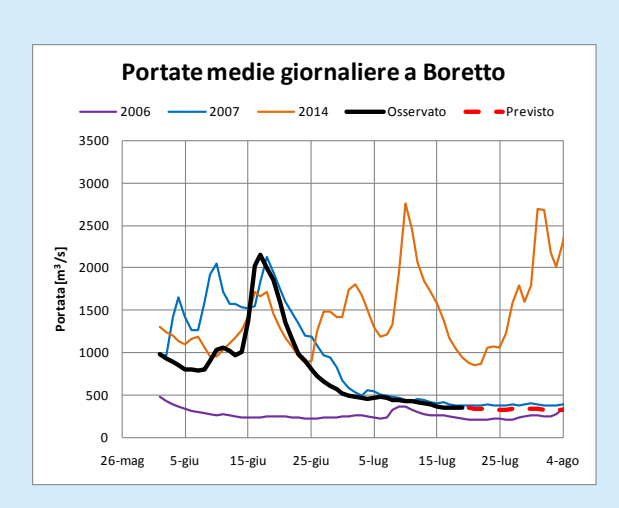
#### Temperature osservate il 20/7/2015 alle 12:00

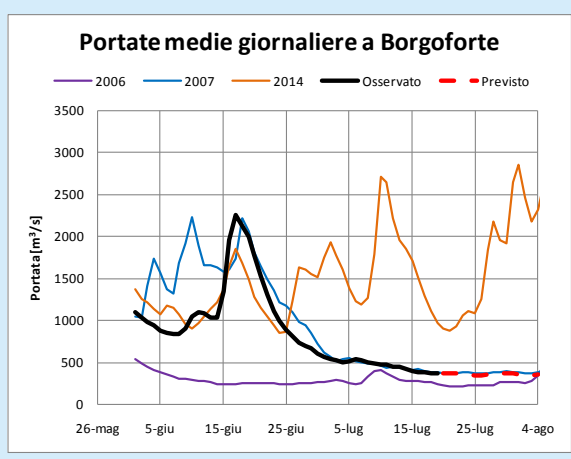


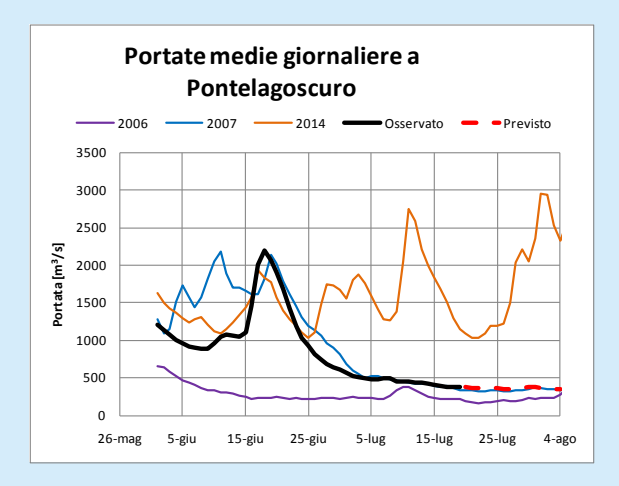
#### Previsioni del Po nell'estate 2015







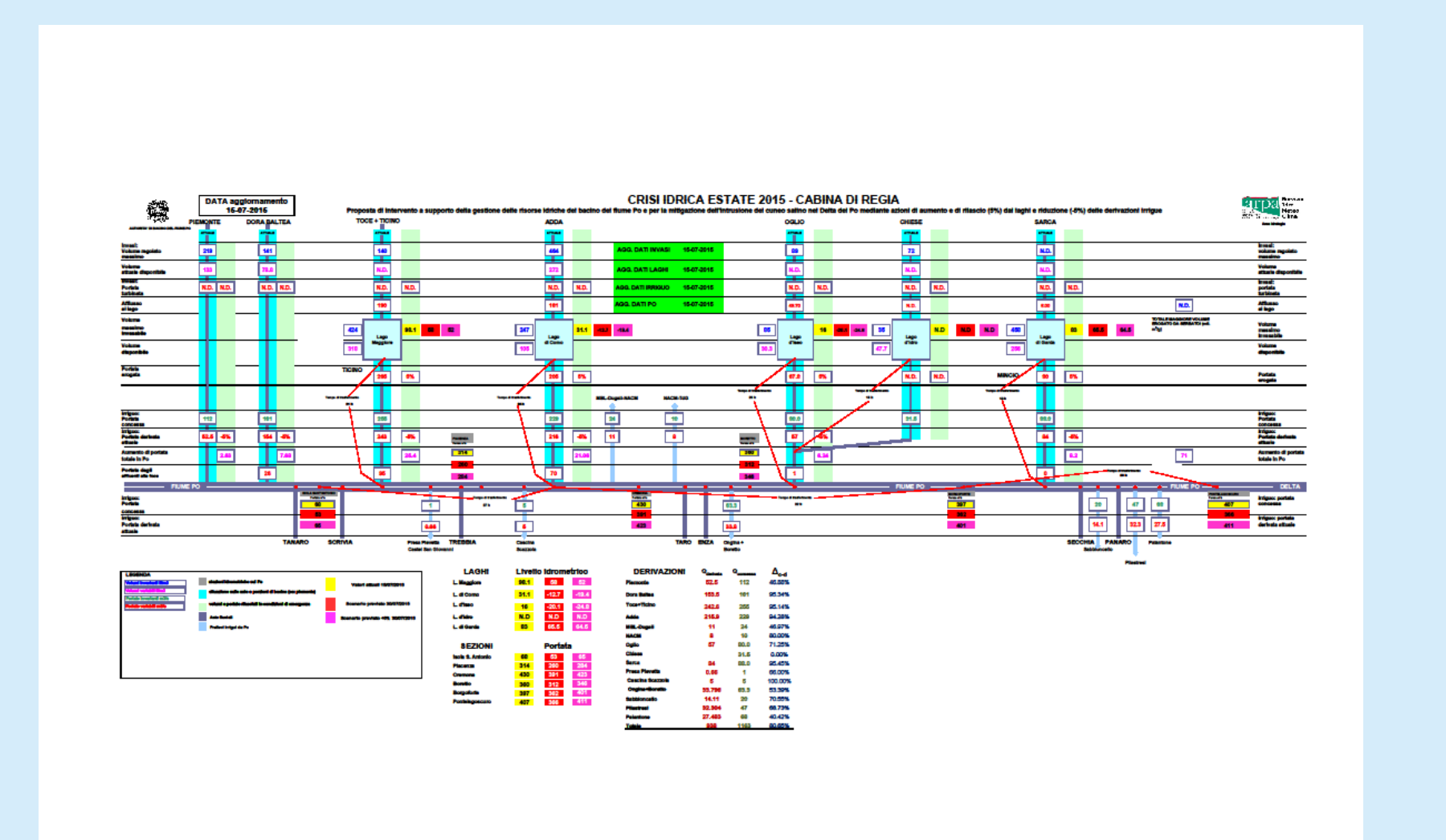




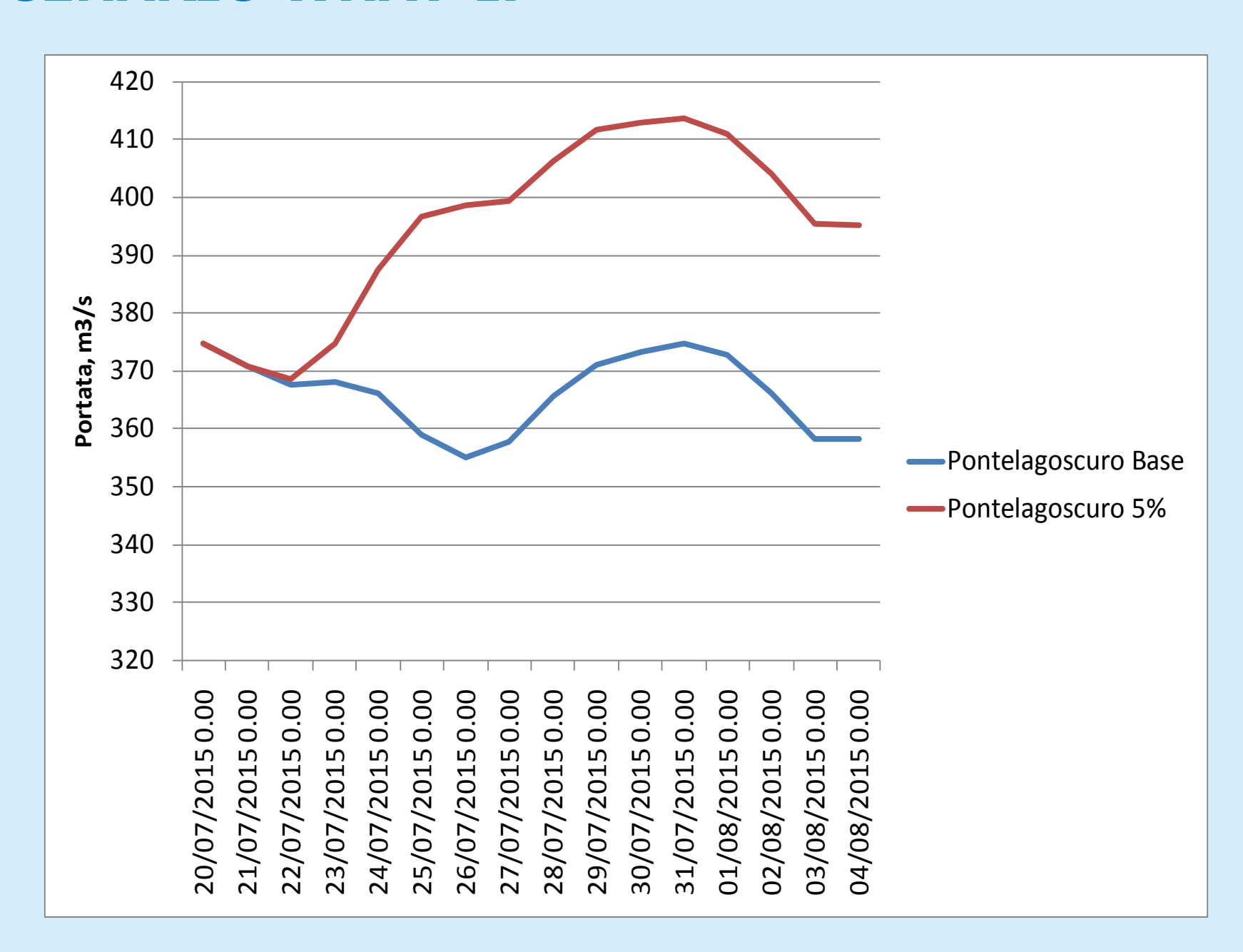
#### Intrusione del cuneo salino nel delta del Po

Data	Pi [ki	la m]	Gno	occa m]	Go [kı			stra m]		lle m]
20/07/2015	10.5	14.7	8.9	11.4	11.6	16.6	8.2	12.2	9.3	11.1
21/07/2015	10.6	14.8	9.0	11.5	11.8	16.8	8.3	12.3	9.3	11.1
22/07/2015	10.7	14.9	9.1	11.6	11.9	16.9	8.3	12.3	9.4	11.2
23/07/2015	10.7	14.9	9.0	11.5	11.9	16.9	8.3	12.3	9.4	11.2
24/07/2015	10.7	14.9	9.1	11.6	11.9	16.9	8.4	12.4	9.4	11.2
25/07/2015	10.9	15.1	9.3	11.8	12.2	17.2	8.5	12.5	9.6	11.4
26/07/2015	10.9	15.1	9.4	11.9	12.3	17.3	8.6	12.6	9.6	11.4
27/07/2015	10.9	15.1	9.3	11.8	12.2	17.2	8.5	12.5	9.6	11.4
28/07/2015	10.7	14.9	9.1	11.6	11.9	16.9	8.4	12.4	9.4	11.2
29/07/2015	10.6	14.8	9.0	11.5	11.8	16.8	8.3	12.3	9.3	11.1
30/07/2015	10.6	14.8	8.9	11.4	11.7	16.7	8.2	12.2	9.3	11.1
31/07/2015	10.5	14.7	8.9	11.4	11.6	16.6	8.2	12.2	9.3	11.1
01/08/2015	10.6	14.8	8.9	11.4	11.6	16.6	8.2	12.2	9.3	11.1
02/08/2015	10.7	14.9	8.9	11.4	11.6	16.6	8.2	12.2	9.3	11.1
03/08/2015	10.9	15.1	8.9	11.4	11.7	16.7	8.2	12.2	9.3	11.1
04/08/2015	10.9	15.1	9.1	11.6	11.9	16.9	8.4	12.4	9.4	11.2

### SCENARIO A SUPPORTO DELLA GESTIONE DELLE RISORSE IDRICHE NEL BACINO DEL PO 2015



#### **SCENARIO WHAT-IF**

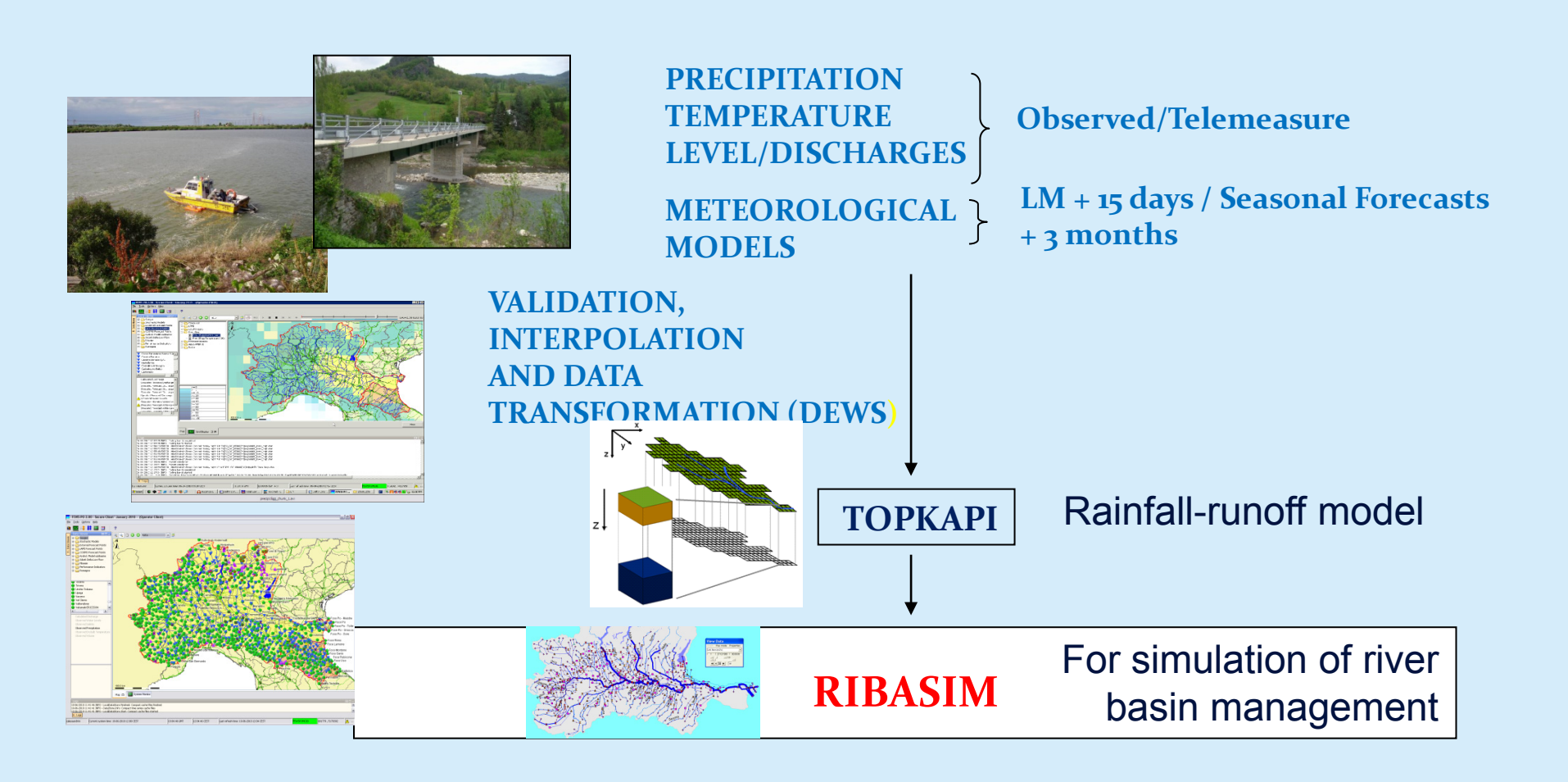


#### Modellistica numerica

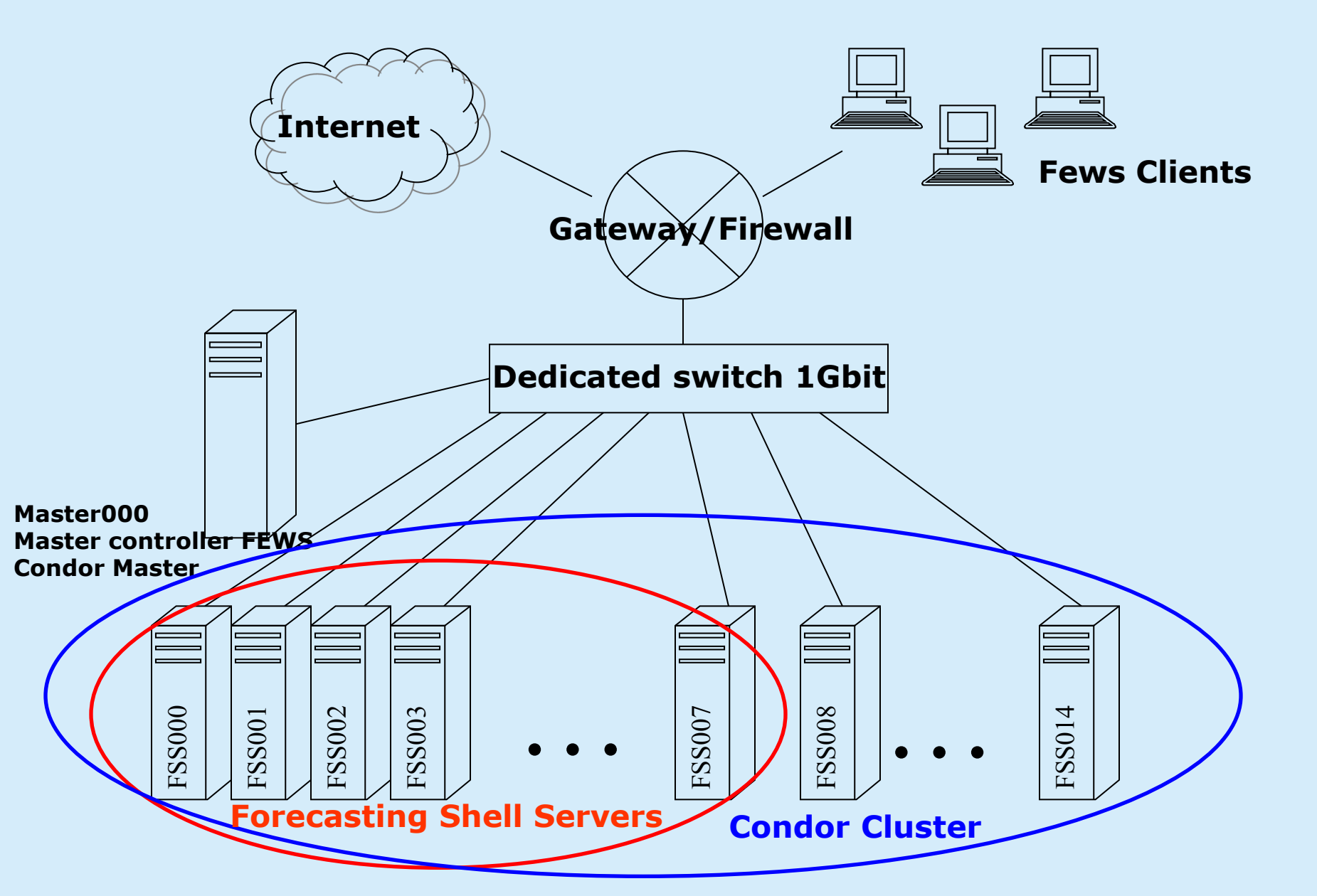
previsione delle magre fluviali



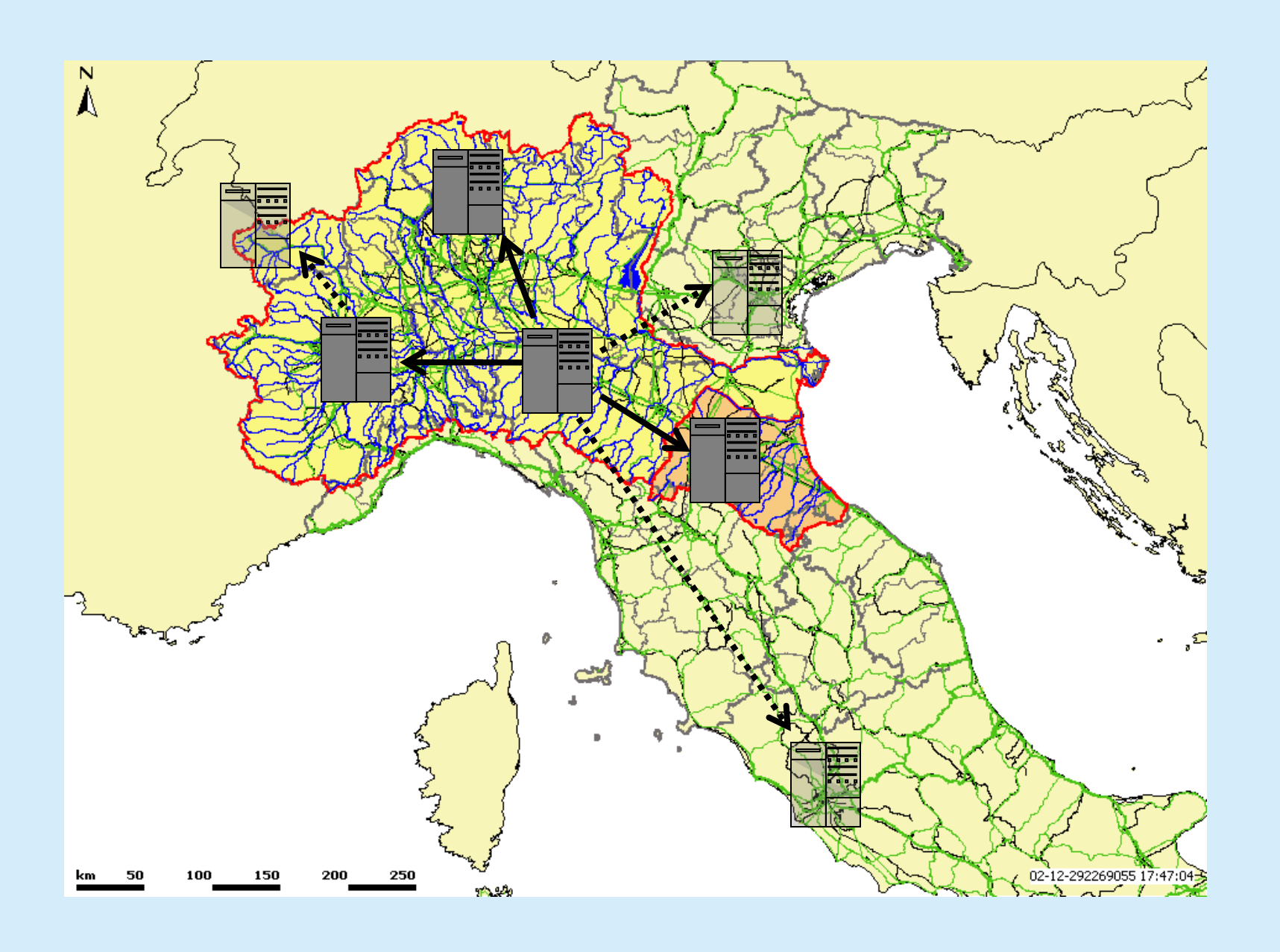
#### **DEWS - Drought Early Warning System**



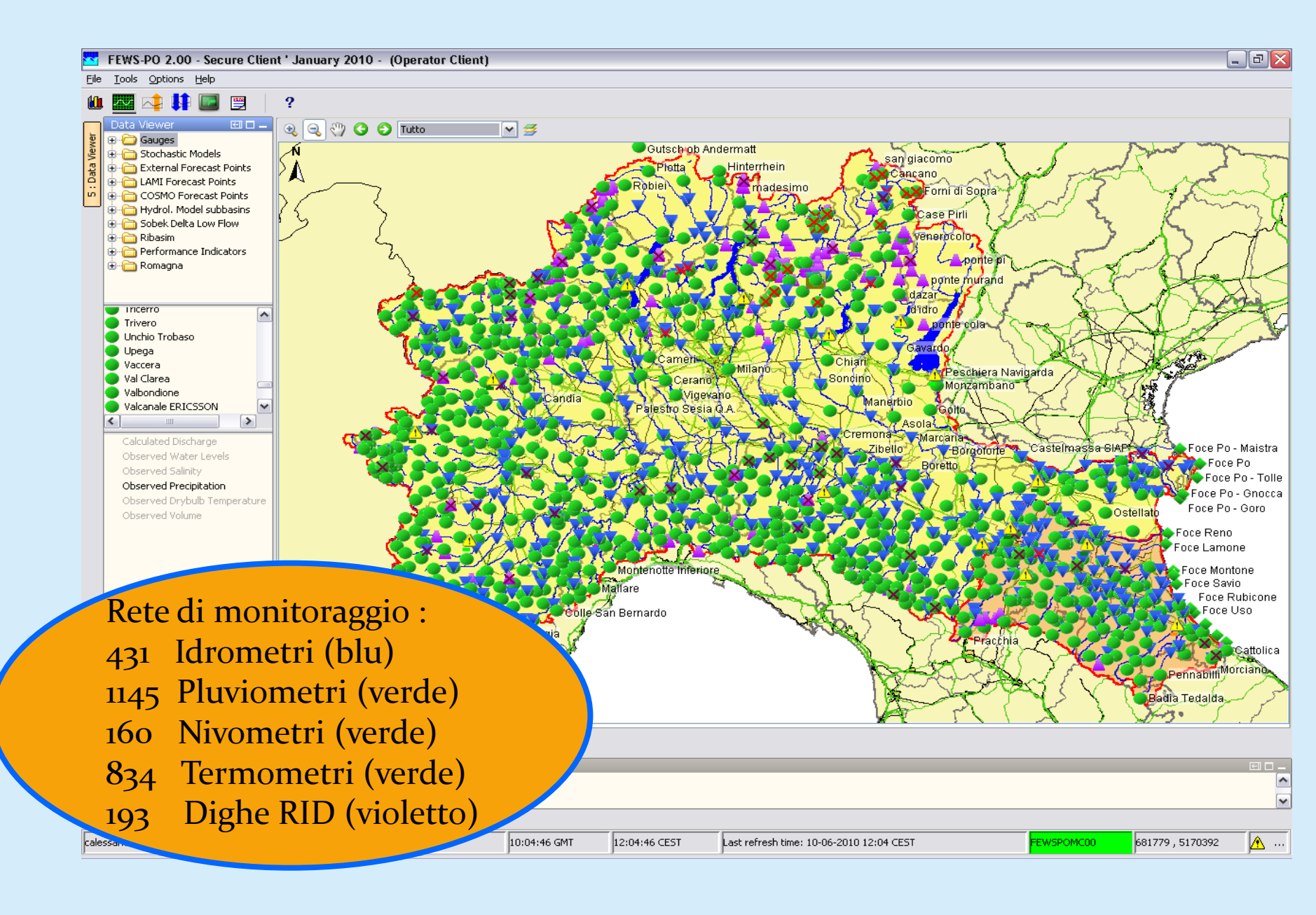
#### II sistema FEWSPo



#### Distribuzione dei server FEWS



#### Rete osservativa



#### Modello idrologico TOPKAPI

Modello idrologico di tipo distribuito e fisicamente basato

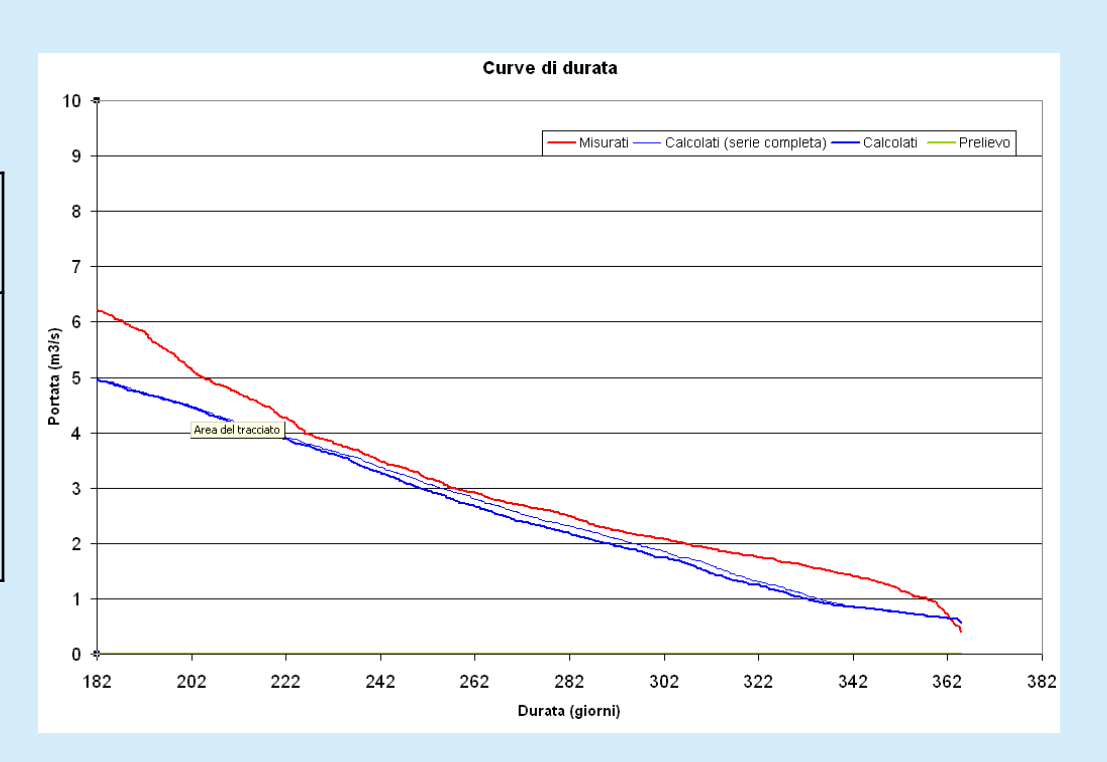
Rappresenta gli idrogrammi di portata a partire dall'input meteorologico e dalle caratteristiche fisiche e morfologiche del bacino idrografico.

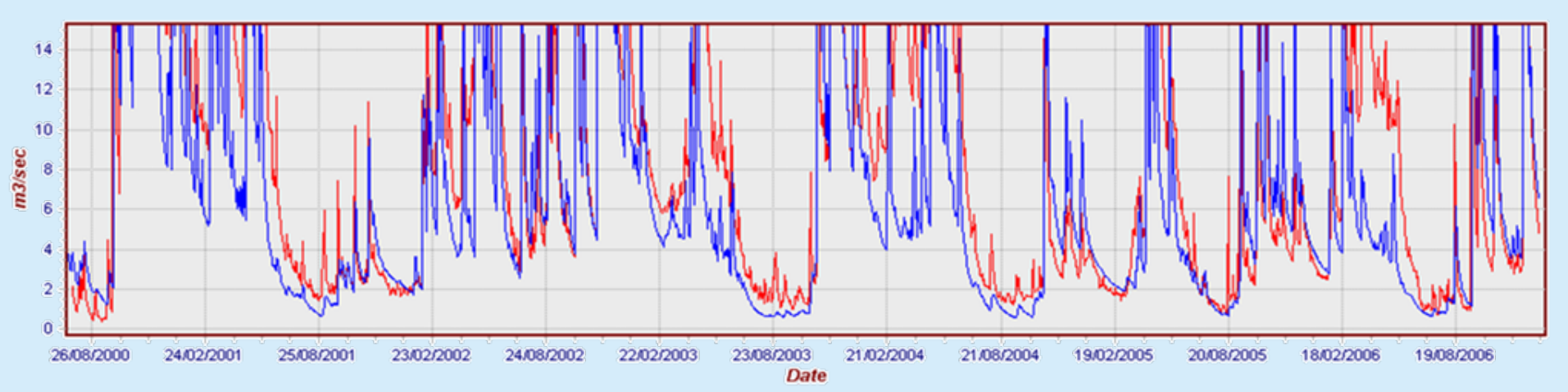
Non è necessario descrivere in maniera accurata la geometria della sezione dell'alveo, ma è sufficiente darne una rappresentazione schematica.



#### Risultati calibrazione TOPKAPI: Fiume Tanaro a Pian Torre

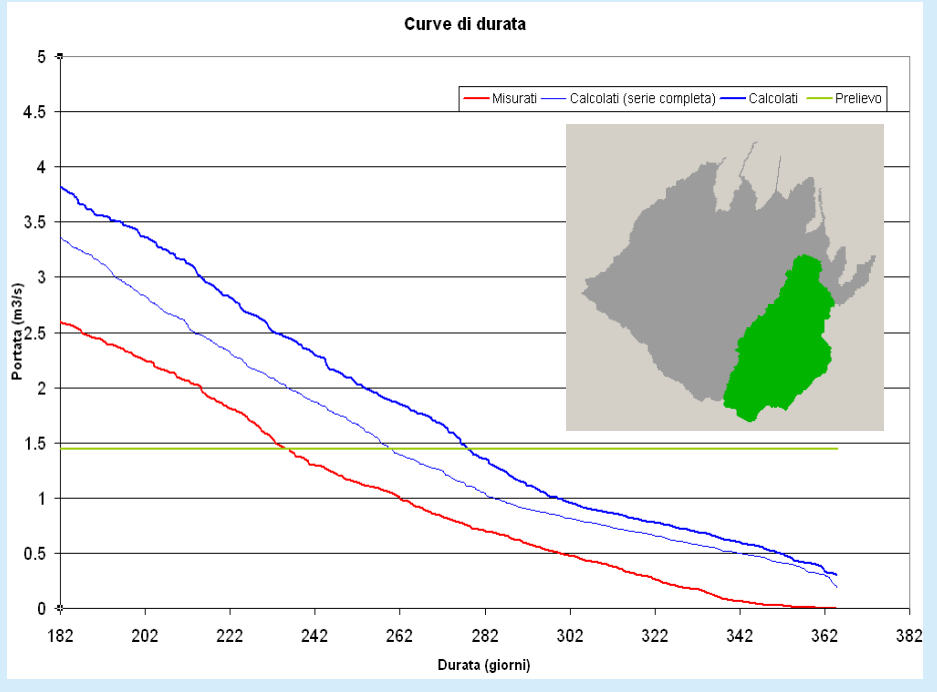
Pian Torre - Fiume Tanaro	
Superficie (km²)	500
Altitudine media (m)	1039
Prelievo annuale (m3/s)	0
Prelievo estivo (m3/s)	0
Prelievo invernale (m3/s)	0

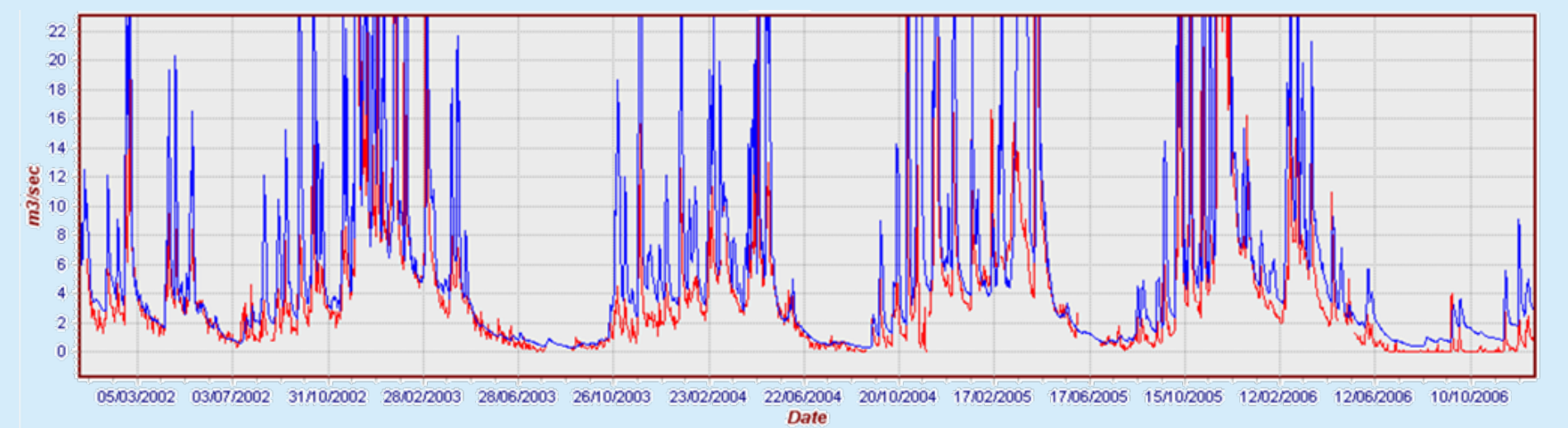




#### Risultati calibrazione TOPKAPI: Savio a San Carlo

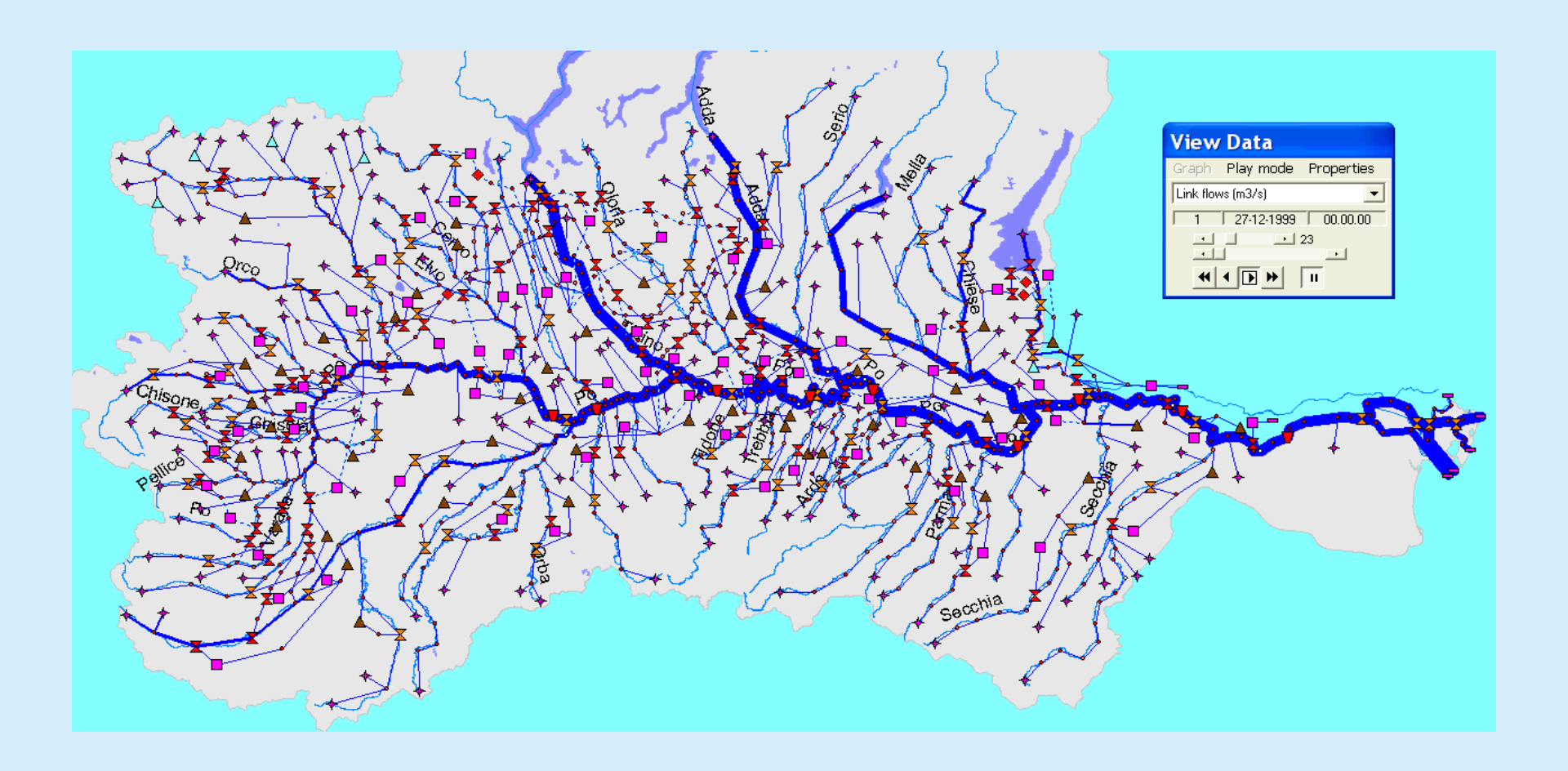
San Carlo – Fiume Savio					
Superficie (km²)	588				
Altitudine media (m)	513				
Prelievo annuale (m3/s)	1.475				
Prelievo estivo (m3/s)	0				
Prelievo invernale (m3/s)	0				





#### Modello di bilancio idrico RIBASIM

Il modello di simulazione RIBASIM (*RIver BAsin SIMulation*), regolato da principi di bilancio idrico, permette una gestione integrata ed un'ottimizzazione delle risorse idriche di bacino computando la ripartizione della portata, simulata dal modello idrologico Topkapi, nelle reti di distribuzione costituite da corsi d'acqua, canali aperti, serbatoi naturali o artificiali di regolazione/produzione idroelettrica e acquedotti.



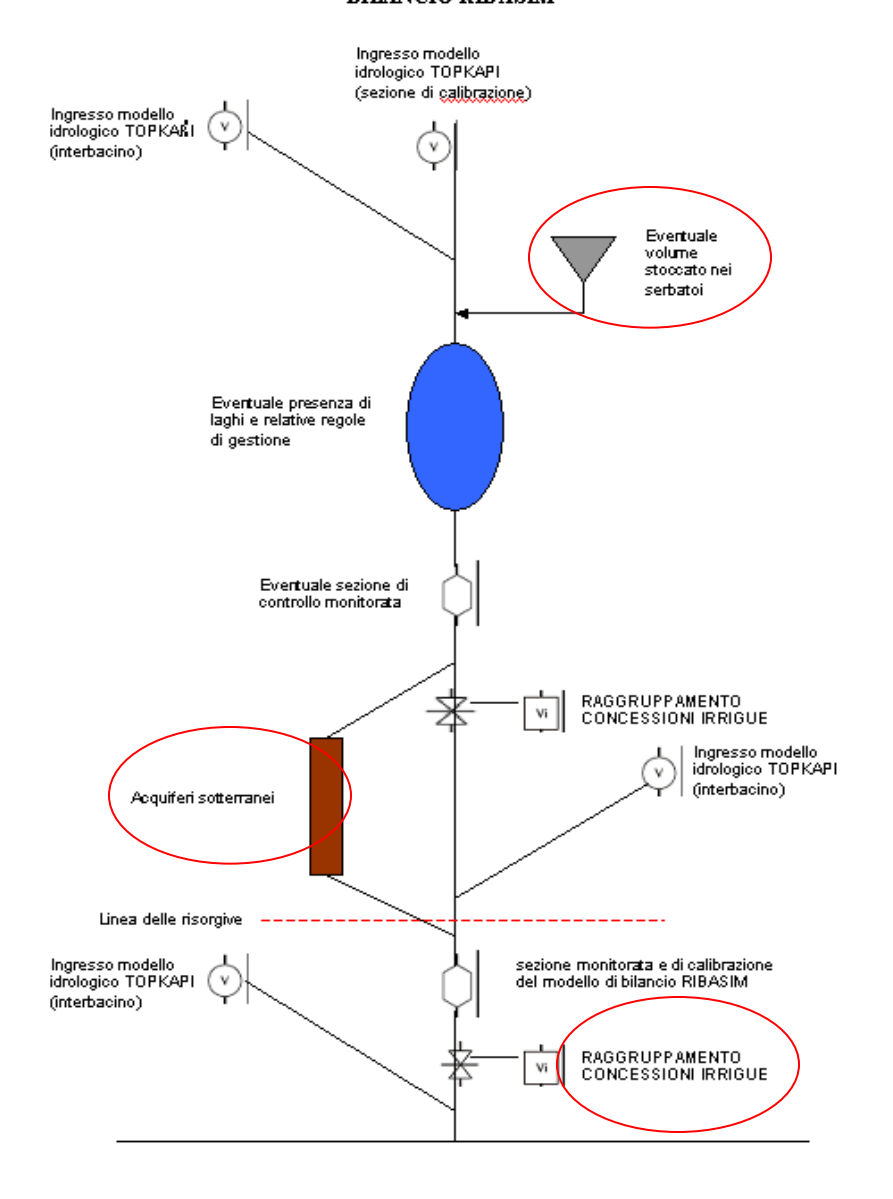
#### Componenti del modello RIBASIM

La definizione topologica del sistema idrografico, essendo la modellazione di tipo concentrato e fisicamente basata, necessita di una serie di **link** e **nodi** che permettano la schematizzazione della rete idrografica del territorio di indagine.

Il *network* è stato realizzato a partire da nodi alimentati dal modello idrologico (*Variable Inflow*) posti a monte di tutte le altre componenti che giocano un ruolo nel bilancio idrico.

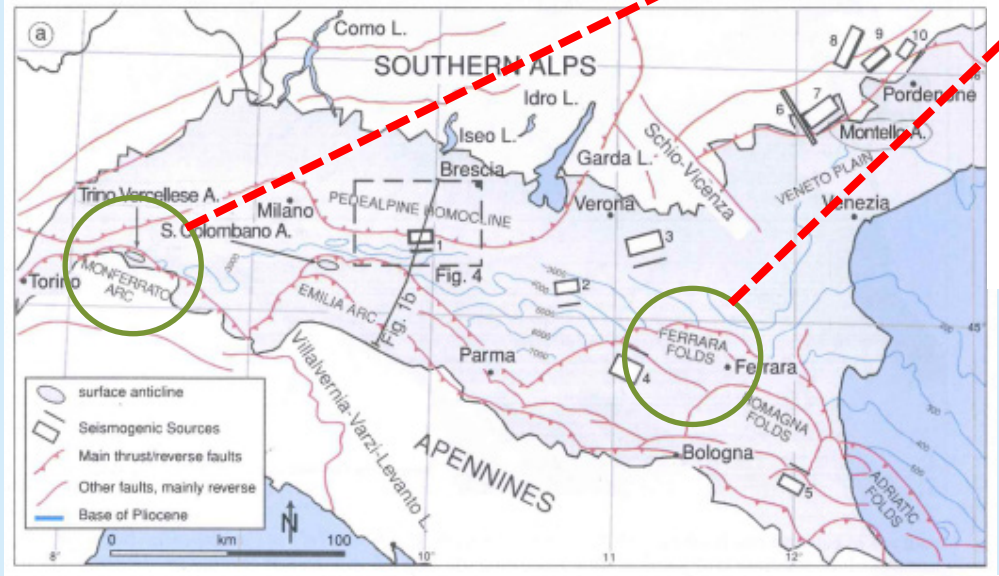
Tali componenti sono poi state schematizzate, lungo i tratti a valle, suddividendo i corsi d'acqua in tratti omogenei dal punto di vista idromorfologico oppure in presenza di misuratori di portata utilizzabili per il controllo delle performance del modello stesso.

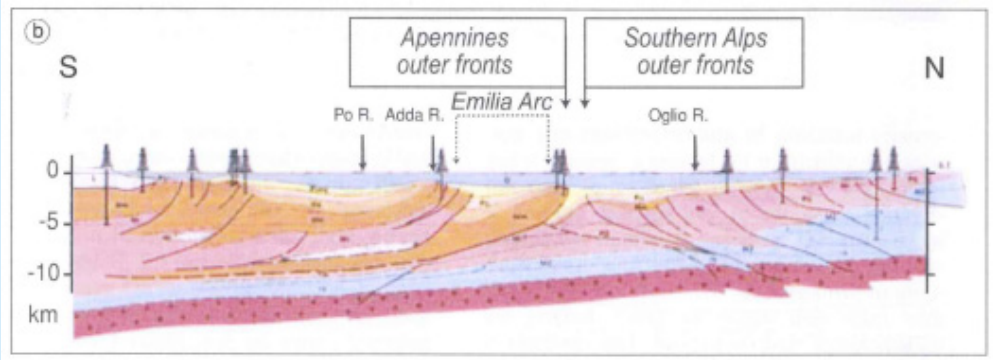
#### RAPPRESENTAZIONE SCHEMATICA DI UN AFFLUENTE DI PO NEL MODELLO DI BILANCIO RIBASIM

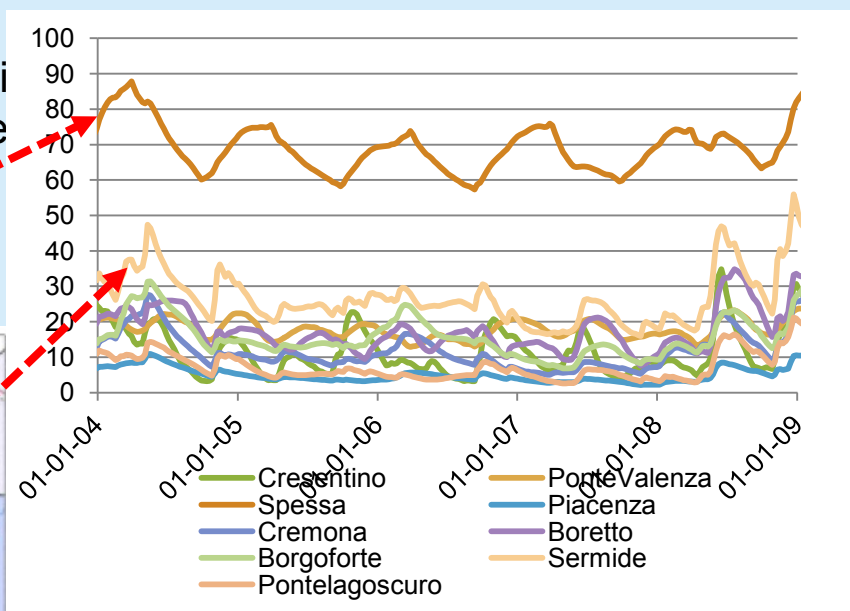


#### Scambi tra fiume Po e falda

Lungo l'asta del fiume Po sono presenti alcune forti disomogeneità nello spessore dell'acquifero dovute alla diminuzione di spazio di accomodamento dei depositi quaternari per effetto dell'avanzata dei fronti Appenninici.

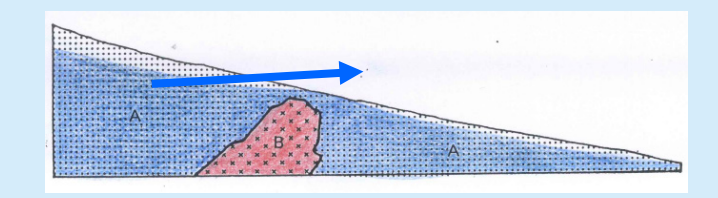




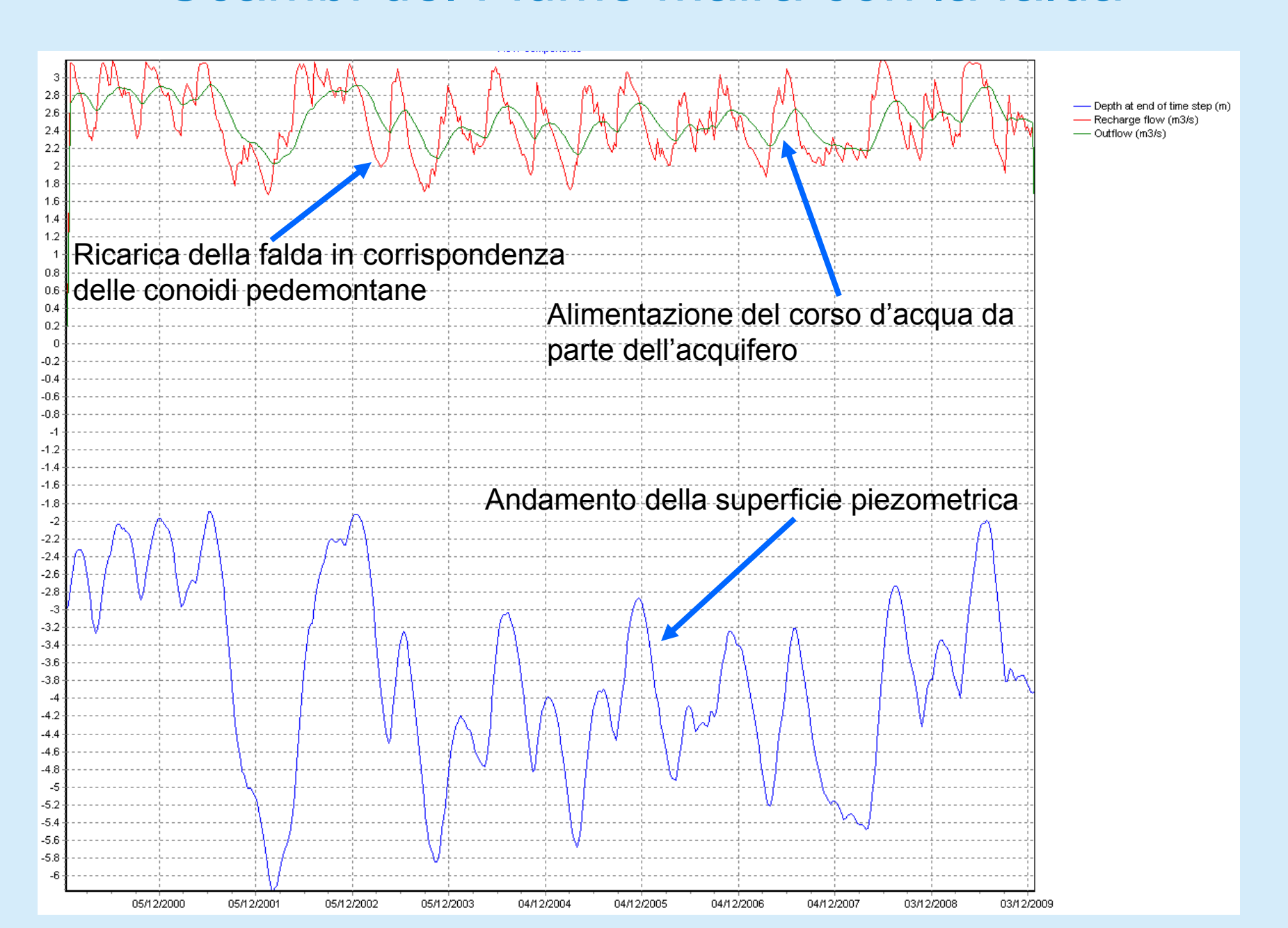


Tali disomogeneità si riflettono in diminuzione di trasmissività e conseguente innalzamento della piezometrica.

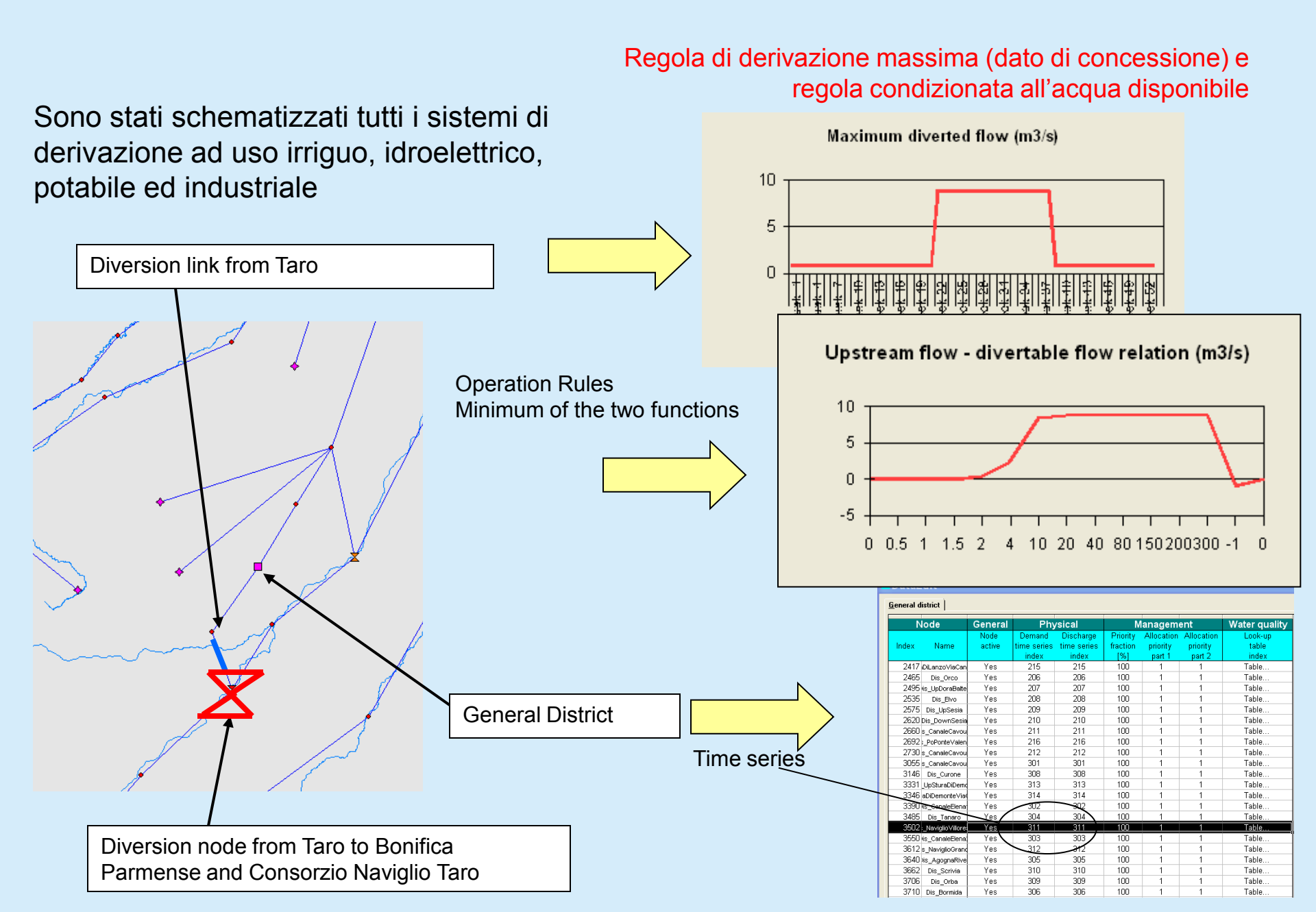
che è stato simulato con la una soglia per differenza di permeabilità ed i maggiori contributi sono stati simulati indirizzando sulla soglia una parte degli apporti delle falde di monte



#### Scambi del Fiume Maira con la falda



#### Sistemi di derivazione



#### Propagazione dei deflussi: Modello di Muskingum

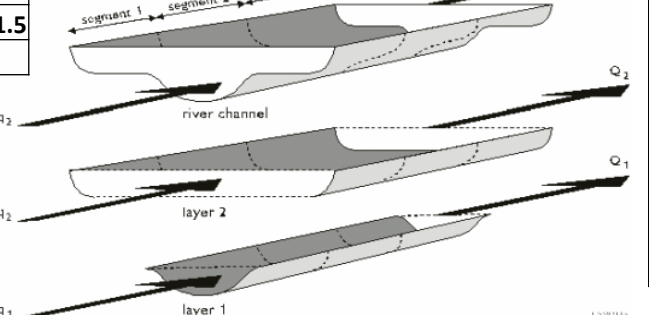
I tempi di transito lungo l'asta del fiume Po sono superiori allo step di calcolo del modello di bilancio idrico, è quindi necessario imporre un ritardo al deflusso. In un alveo a forma prismatica e a pendenza

	•			ocatanta si nuà assumara il
		Layer 1	Layer 2	costante si può assumere il
	Crescentino			volume d'acqua invasato nel
		5.00	3.75	tronco in una generica
	Ponte Valenza			condizione di moto vario, con
		2.22	1.67	ŕ
	Isola			la somma algebrica di due pa
	Sant'Antonio			Un volumo compreso tra il
		6.67	4.72	The state of the s
	Spessa			contorno dell'alveo ed il piano
		8.61	6.94	parallelo al fondo passante pe
	Piacenza	6.39	c	·
	Cremona	6.39	5.56	•
Ро	Cremona	13.33	11.39	(sempre positivo)
	boretto	15.55	11.33	Lla valuma aamamaaa tra il nis
	001010	6.39	5.83	Un volume compreso tra il pia
	Borgoforte			parallelo al fondo ed il pelo
		13.61	11.39	libero (positivo o negativo a
	Sermide			seconda della posizione
		17.22	9.17	•
	Pontelagoscuro			dell'onda)
		44.44	18.89	Q-
	Cavanella			sognant 1 segment 2 sogment 3
	_	127.5	81.5	358
	Foce			
Ritar	do (in ore) impo	osto	q - q <sub>1</sub> + q <sub>2</sub>	river channel

ai vari tratti per il layer di "magra" ed il layer di

"morbida"

ario, come di due parti: o tra il ed il piano ssante per il ne di valle o tra il piano il pelo gativo a one

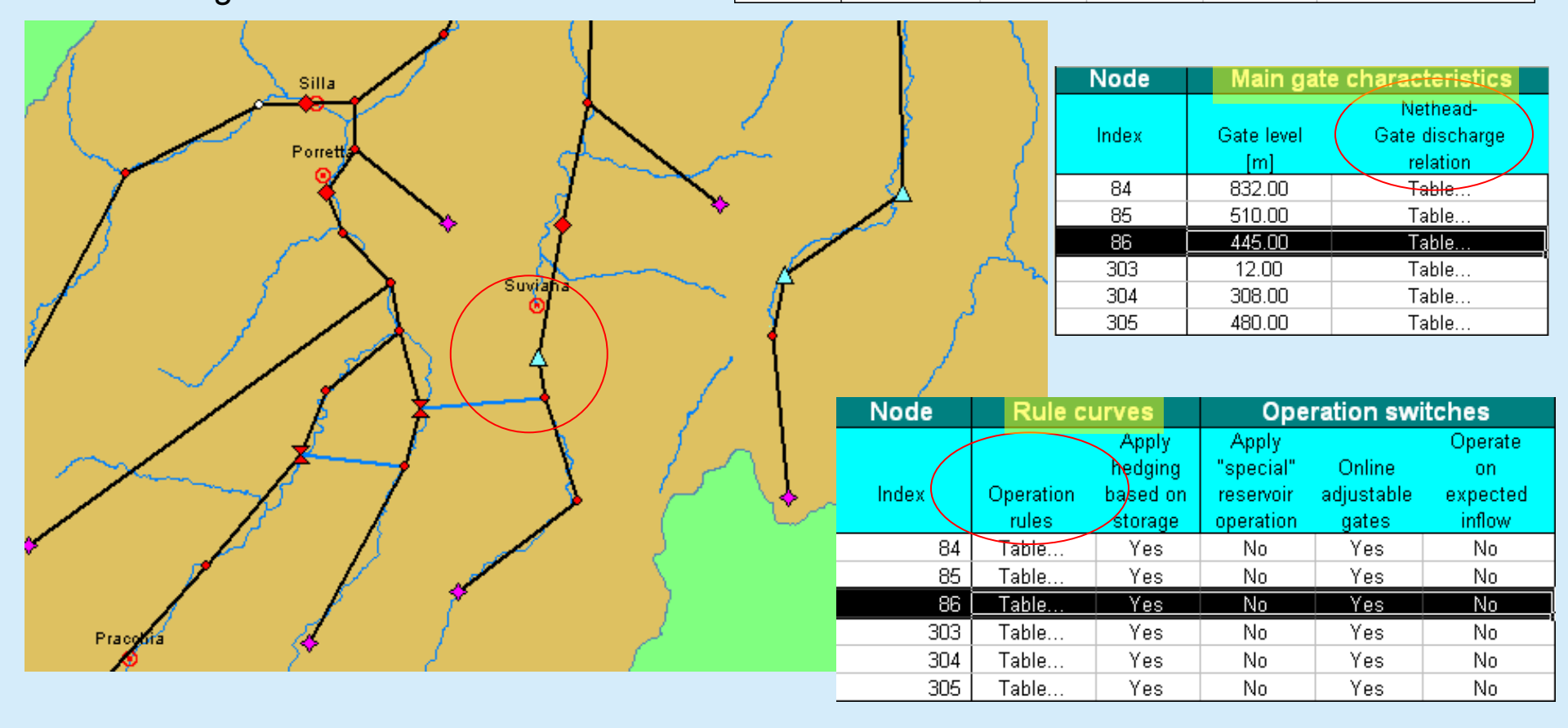


		Layer 1	Layer 2
	Miorina		
Ticino		22.22	12.50
	Pavia		
	Tavagnasco		
Dora Baltea		9.44	6.94
	Verolengo		
	Alba Tanaro		
Tanaro		16.11	9.44
	Montecastello		
	S.M.Lavello		
Adda		24.44	20.28
	Pizzighettone		
	Carobbio d'Adda		
Oglio		21.39	16.94
	Marcaria		
	Lago d'Idro		
Chiese		13.33	9.44
	Isola d'Idro		
	Peschiera		
Mincio		11.39	7.78
	Governolo		
	Borgosesia		
Sesia		14.44	8.89
	Palestro		
	Porretta		
Reno		21.94	17.78
	Ponte Bastia		

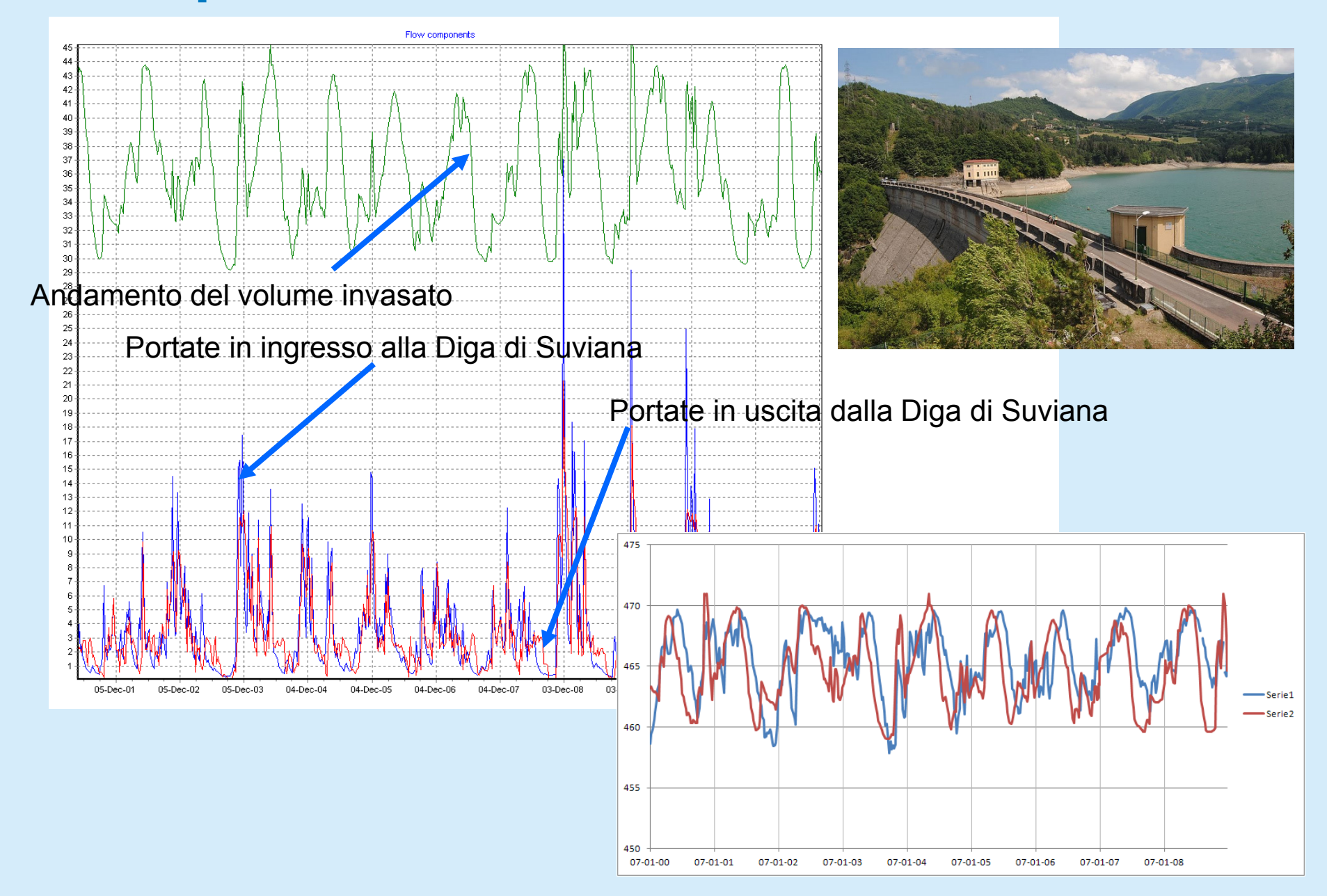
#### Sistemi di invaso

Gli invasi artificiali nella regione Emilia
Romagna sono stati schematizzati con una
serie di regole basate sulle <u>caratteristiche</u>
fisiche dell'impianto e <u>degli organi di rilascio</u>.
Una "<u>funzione obiettivo</u>" fissa i volumi ottimali
cui tendere in funzione della stagionalità a
seconda degli usi del serbatoio

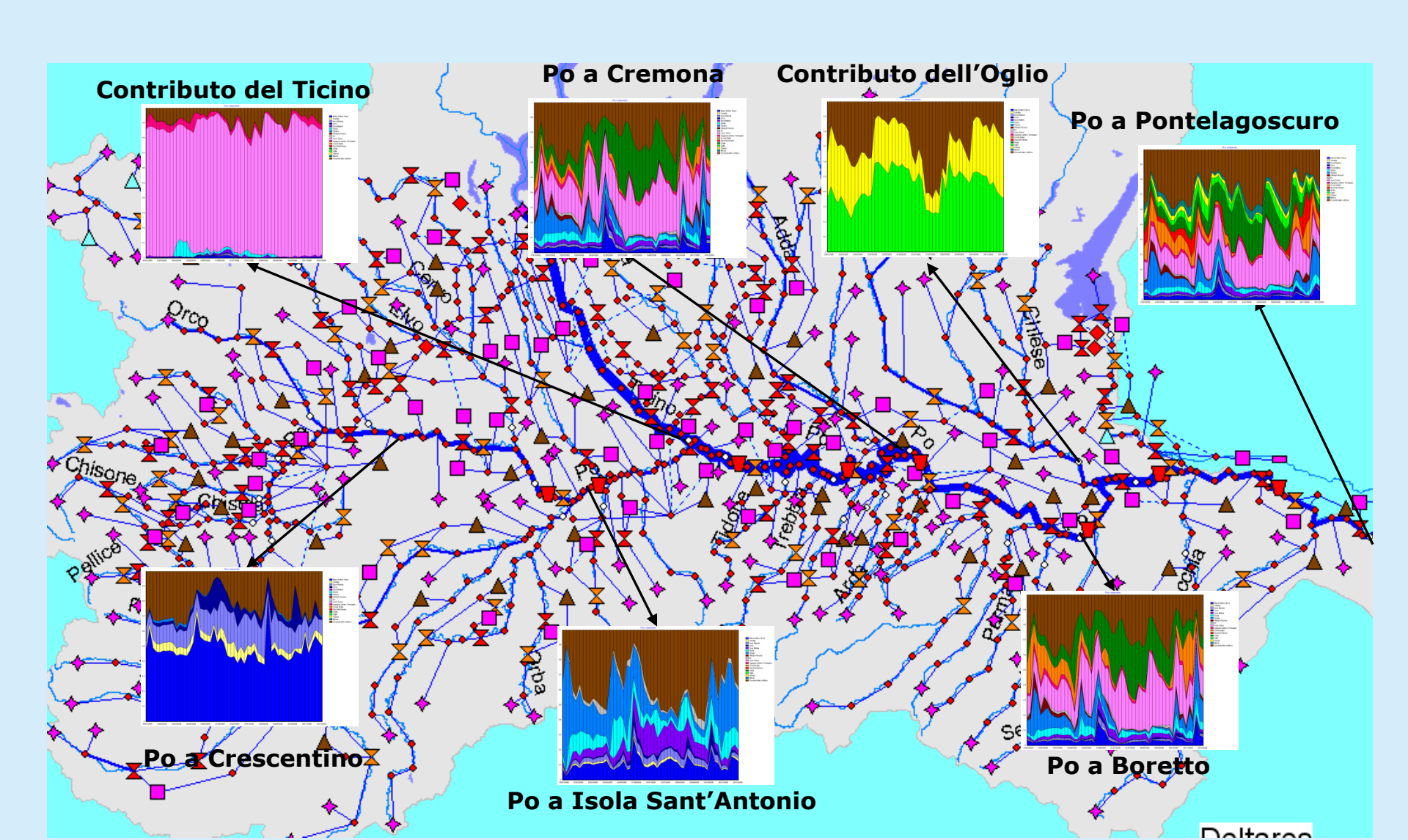
Node		Р	hysical char	acteristics	
	Level -			Full reservoir	Spillway
(	Surface area -	Length	Initial level	level	(Nethead - Gate discharge)
index	Volume relation	/ [m]	[m]	[m]	relations
84	Table	158.00	840.90	846.18	Table
85	Table	68.00	518.21	522.26	Table
86	Table	101.00	465.00	471.50	Table
303	Table	101.00	15.00	17.00	Table
304	Table	101.00	317.00	322.90	Table
305	Table	101.00	528.00	559.60	Table



#### Comportamento dell'invaso di Suviana

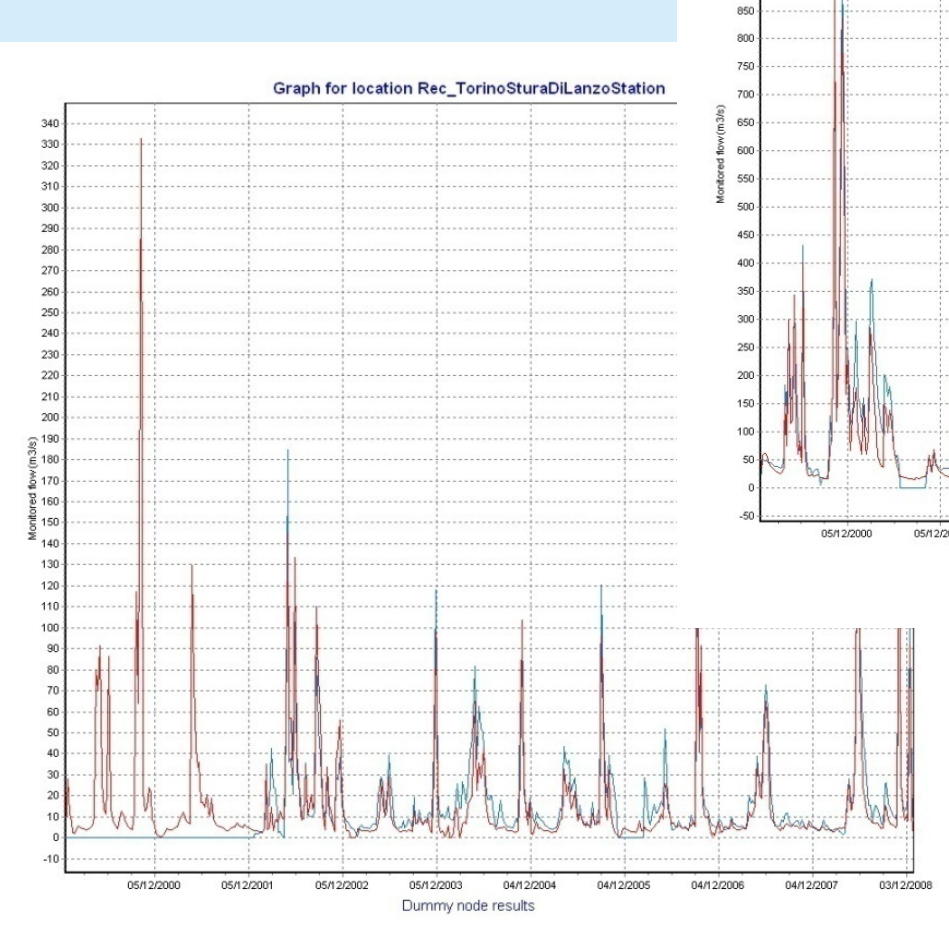


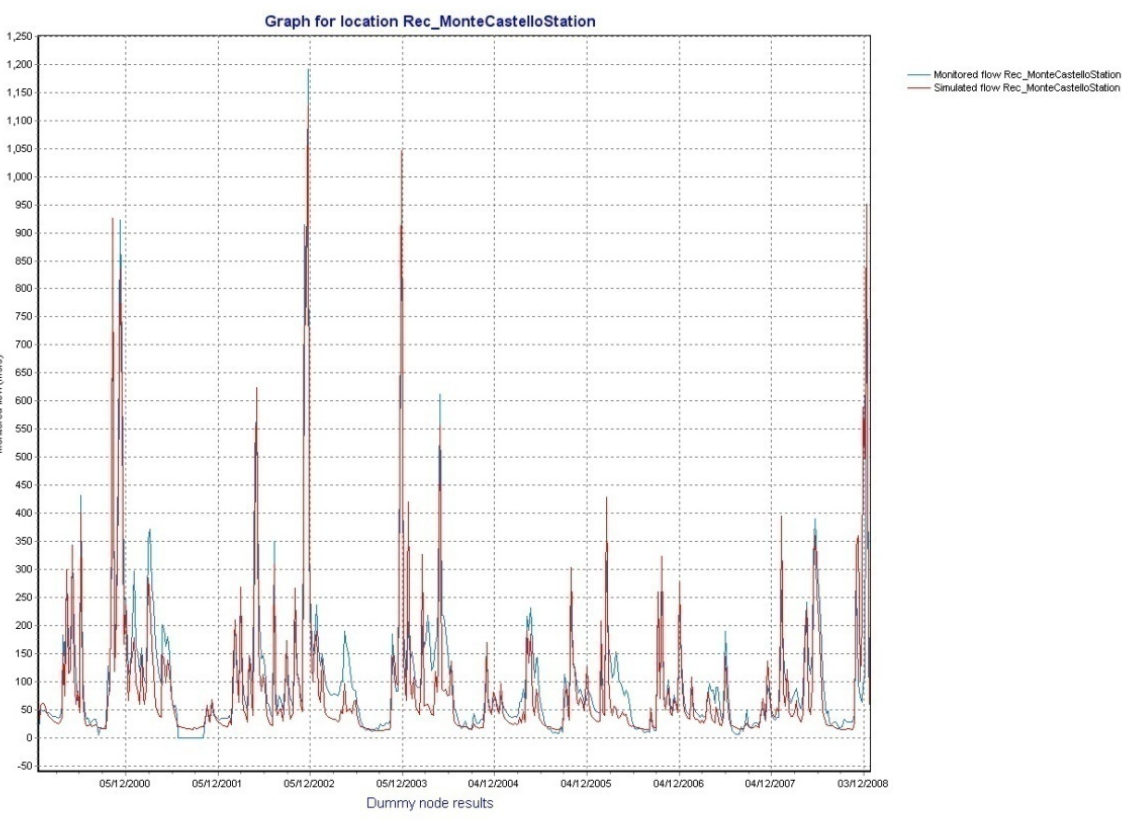
E' possibile valutare l'origine delle portate in una sezione specifica (differenti percentuali, differenti colori) allo scopo di realizzare analisi quantitative e qualitative.



#### Calibrazione del modello RIBASIM 1/3

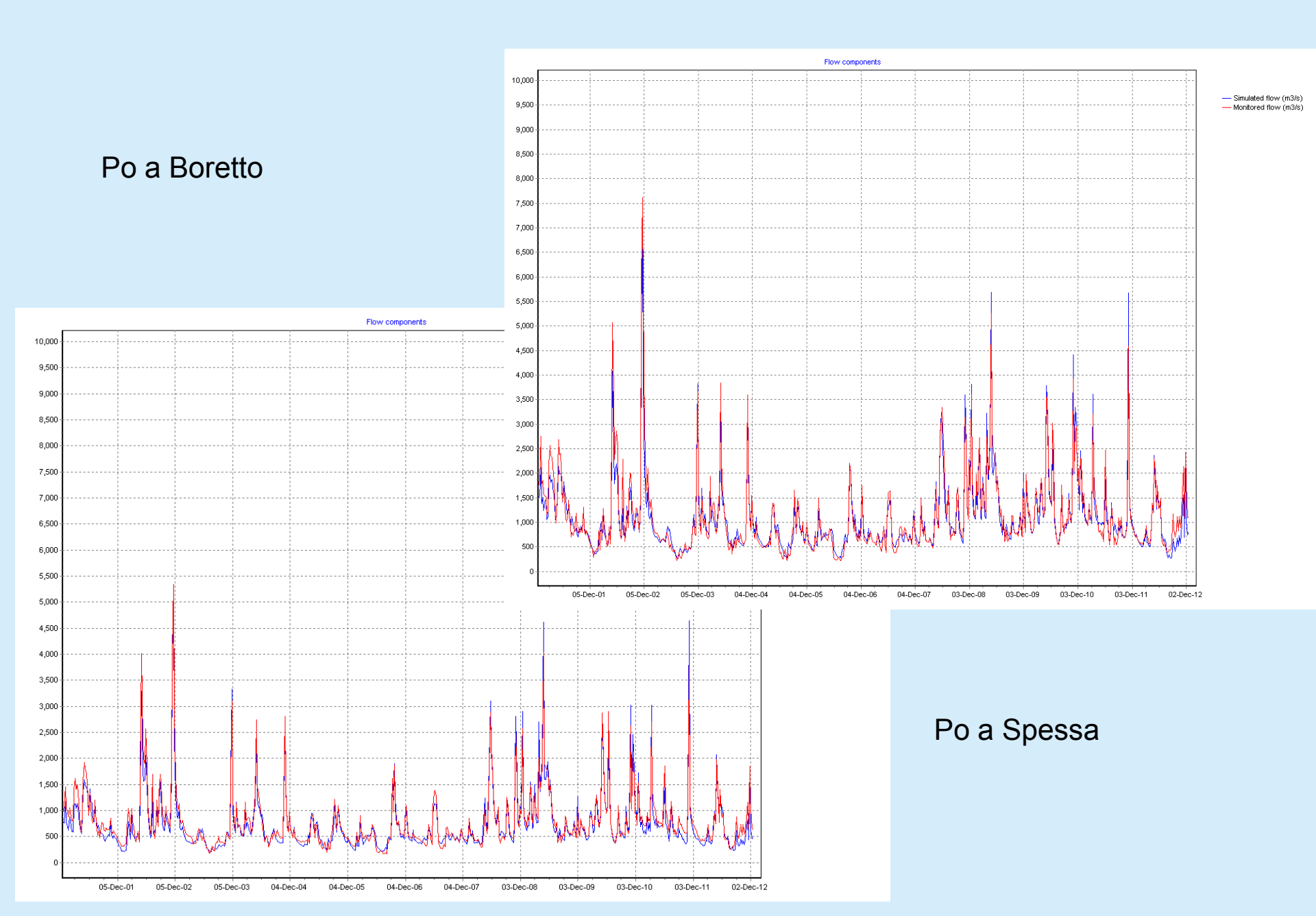
#### Tanaro a Montecastello



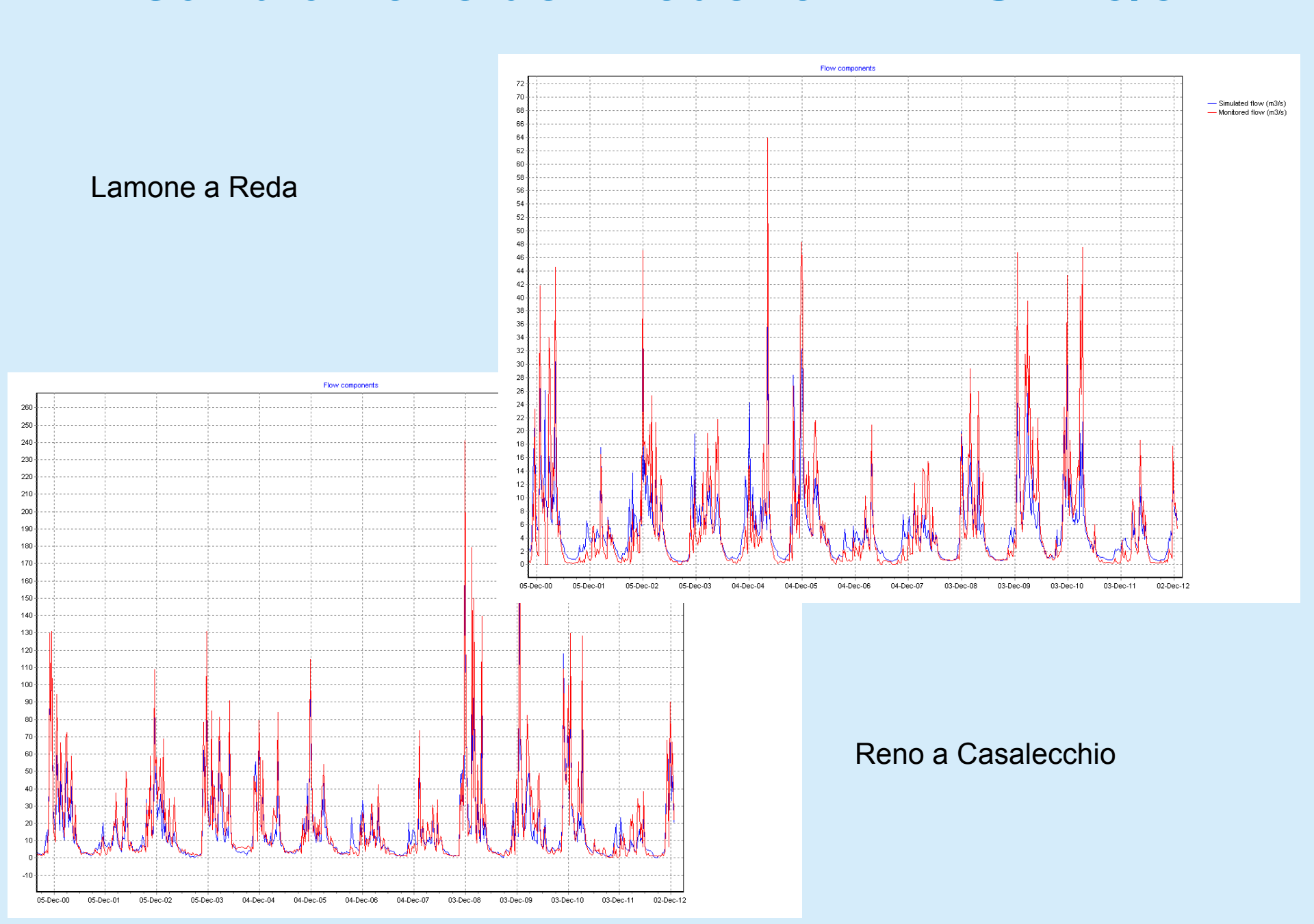


Stura di Lanzo a Torino

#### Calibrazione del modello RIBASIM 2/3

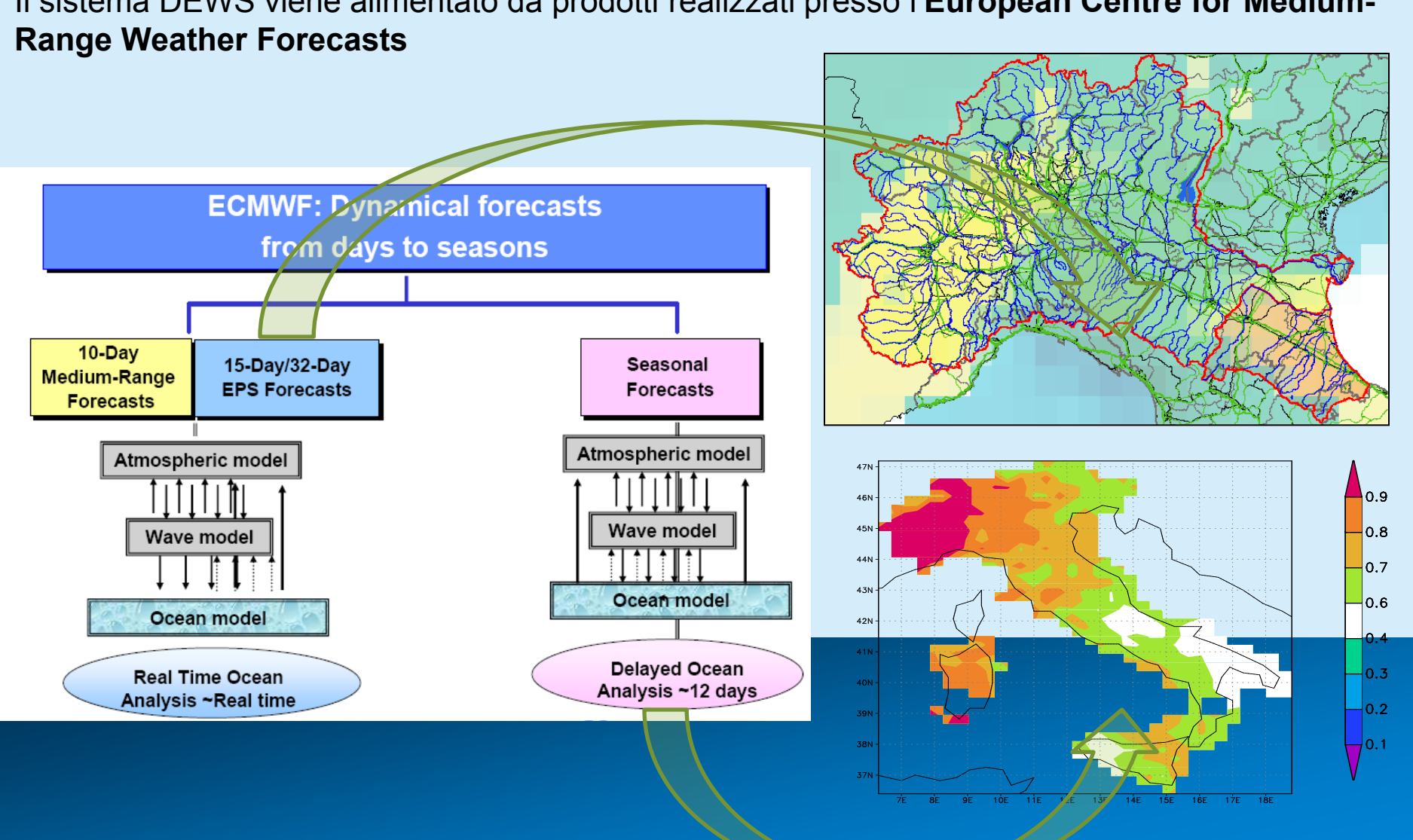


#### Calibrazione del modello RIBASIM 3/3



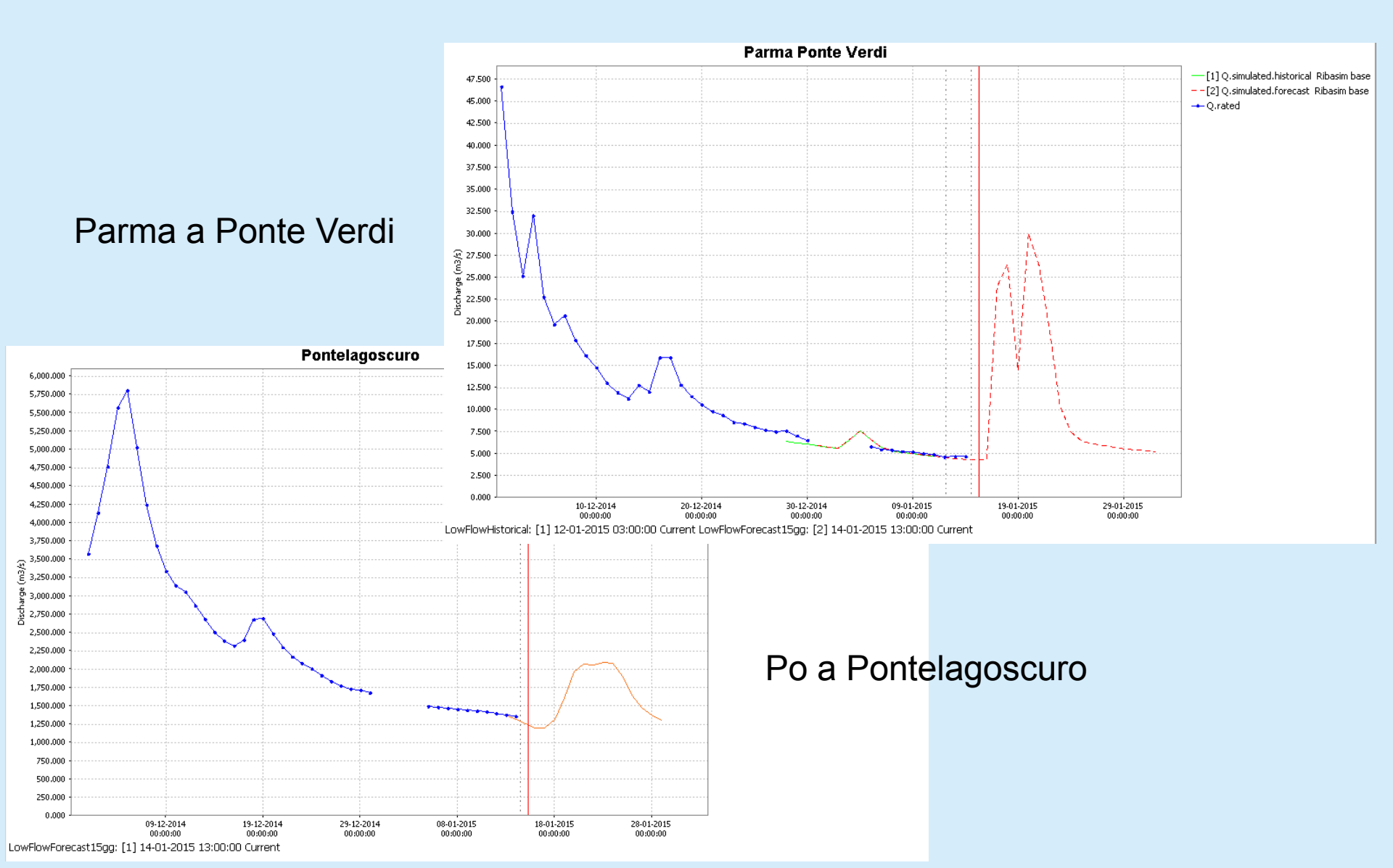
#### Le previsioni meteorologiche

Il sistema DEWS viene alimentato da prodotti realizzati presso l'European Centre for Medium-



#### Risultati: previsione a 15 giorni

Le previsioni di portata a + 15 gg effettuate il 15/01/2015



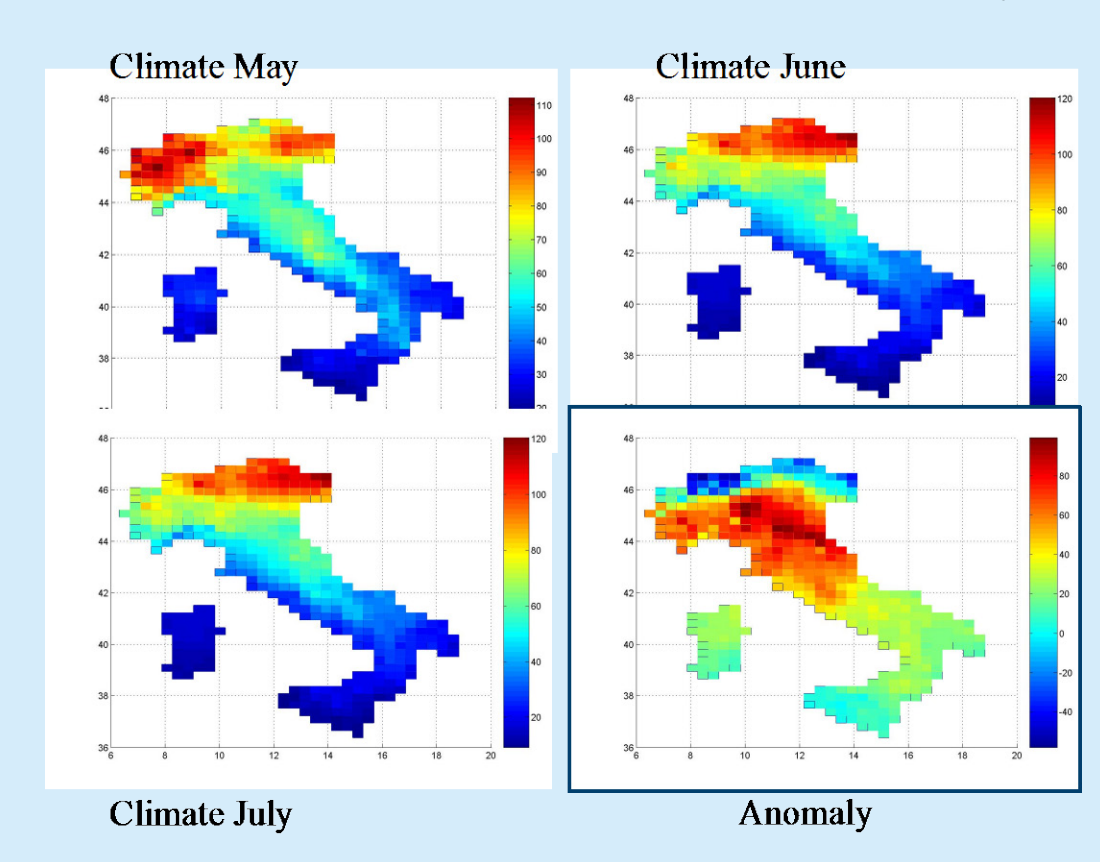
#### Le previsioni stagionali

Le previsioni stagionali sono definite mediante un'anomalia rispetto alla media climatica trimensile; è stato quindi scelto di generare un set di precipitazioni giornaliere sintetiche (utilizzando Weather Generator) da cui campionare gli scenari che meglio interpretano le previsioni stagionali

Rainfall-runoff model, running at daily scale

z v

Seasonal forecast product: monthly mean climate maps and related forecast output, expressed as seasonal (three months) anomaly



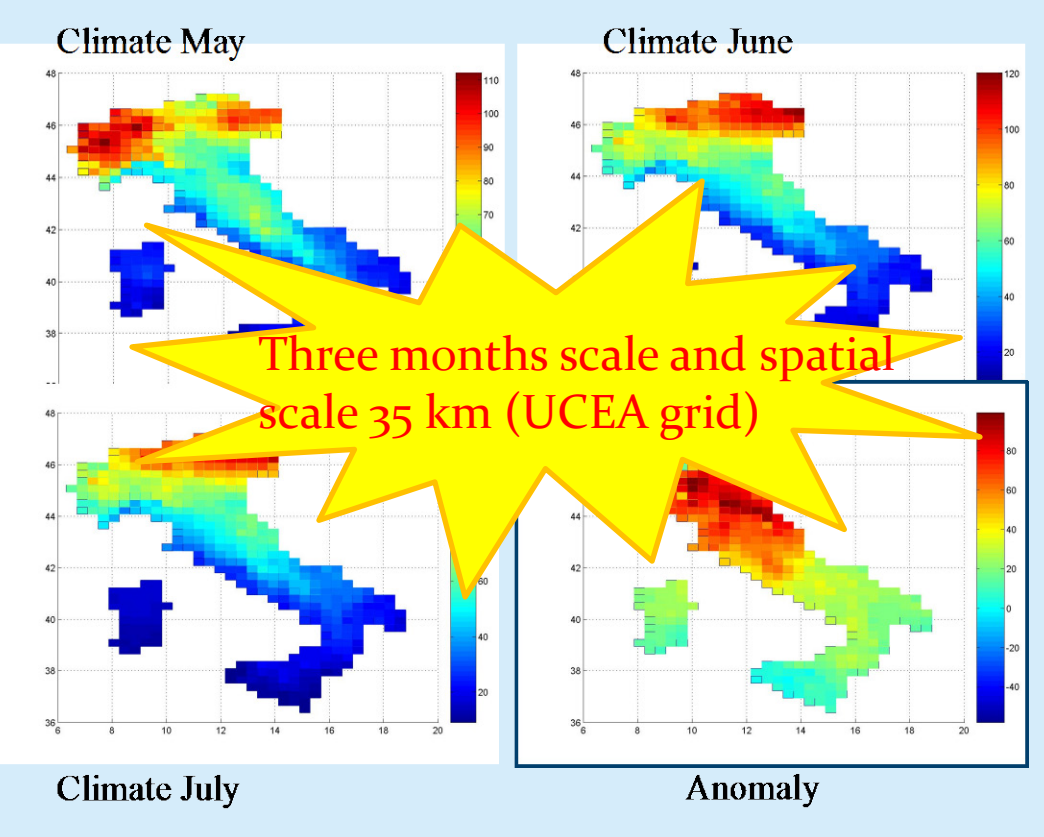
# Le previsioni stagionali

Le previsioni stagionali sono definite mediante un'anomalia rispetto alla media climatica trimensile; è stato quindi scelto di generare un set di precipitazioni giornaliere sintetiche (utilizzando Weather Generator) da cui campionare gli scenari che meglio interpretano le previsioni stagionali

Rainfall-runoff model, running at daily scale

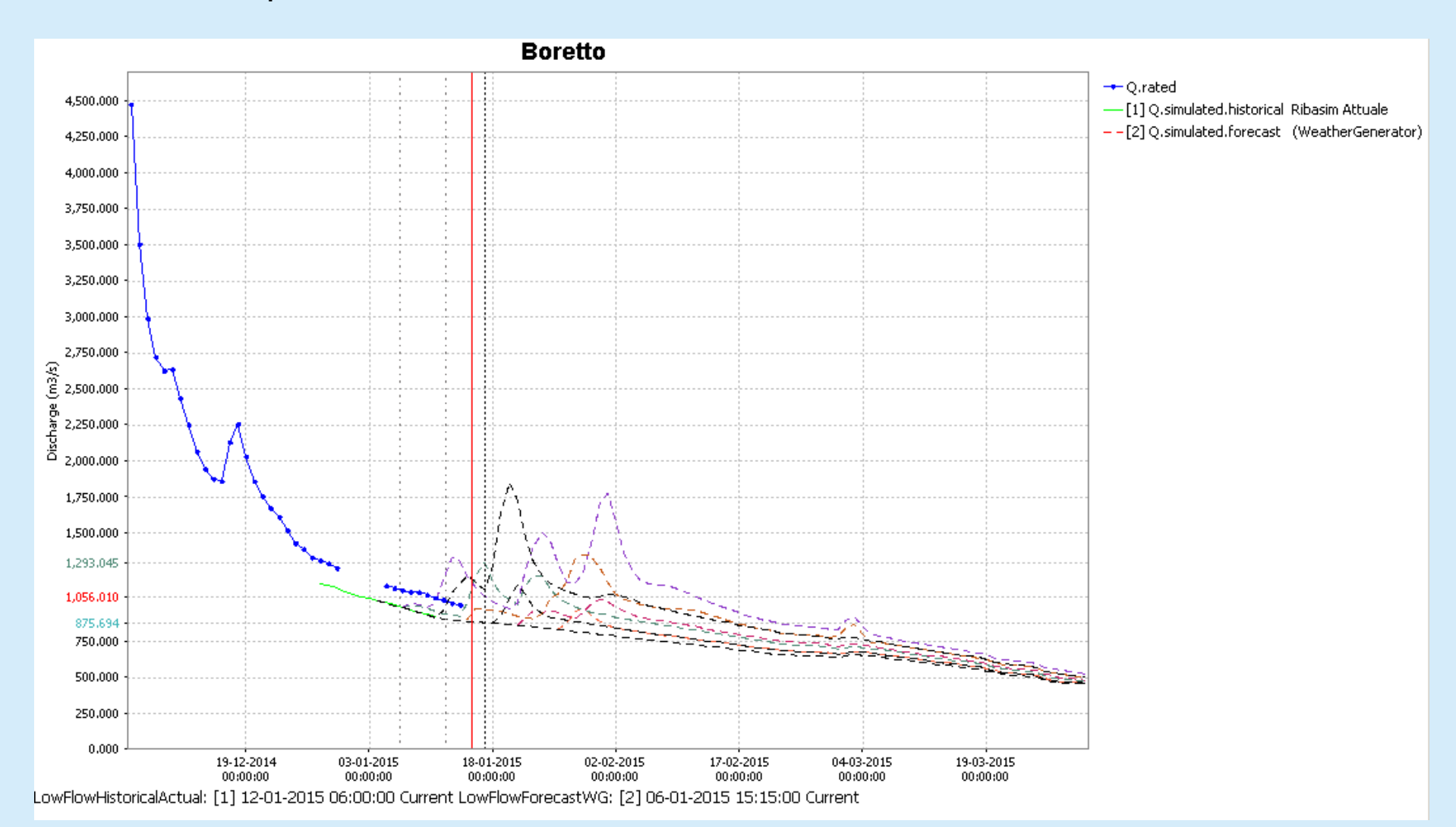
Daily scale and spatial scale 250 m (grid)

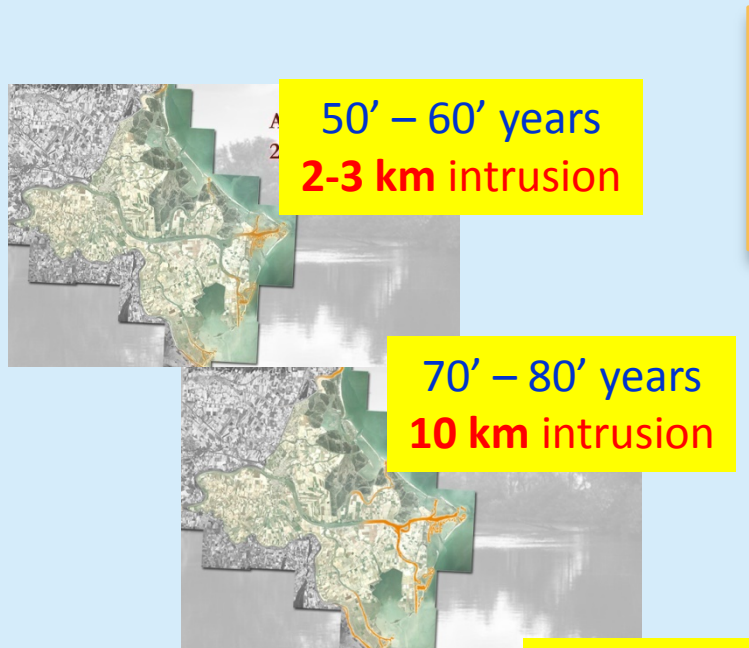
Seasonal forecast product: monthly mean climate maps and related forecast output, expressed as seasonal (three months) anomaly



# Risultati: previsione a 3 mesi

Gli spaghetti plot generati permettono all'operatore, non solo di simulare scenari a scala stagionale, ma anche stimare l'incertezza della previsione stagionale fornendo all'operatore una buona sensitività sui risultati.

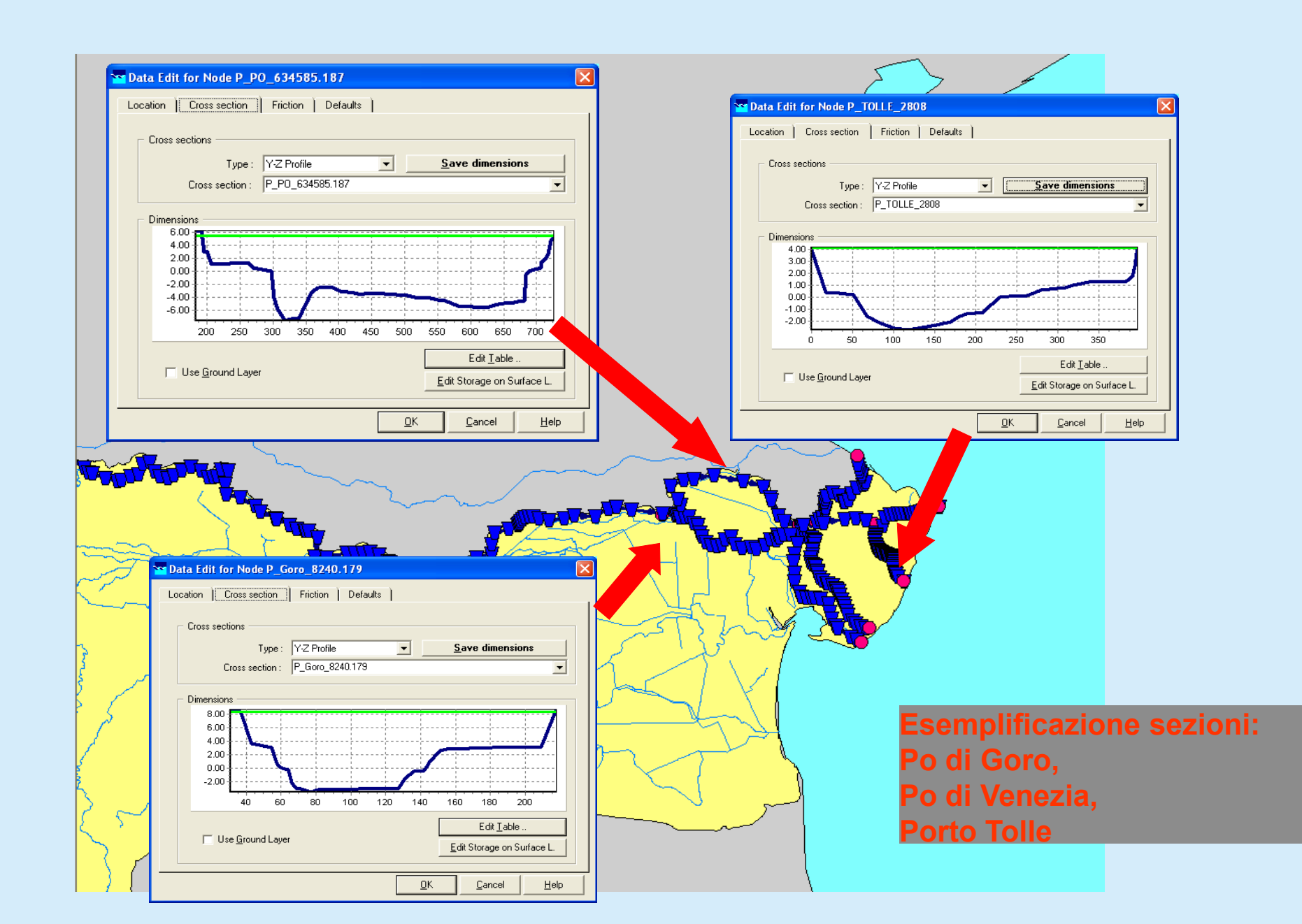




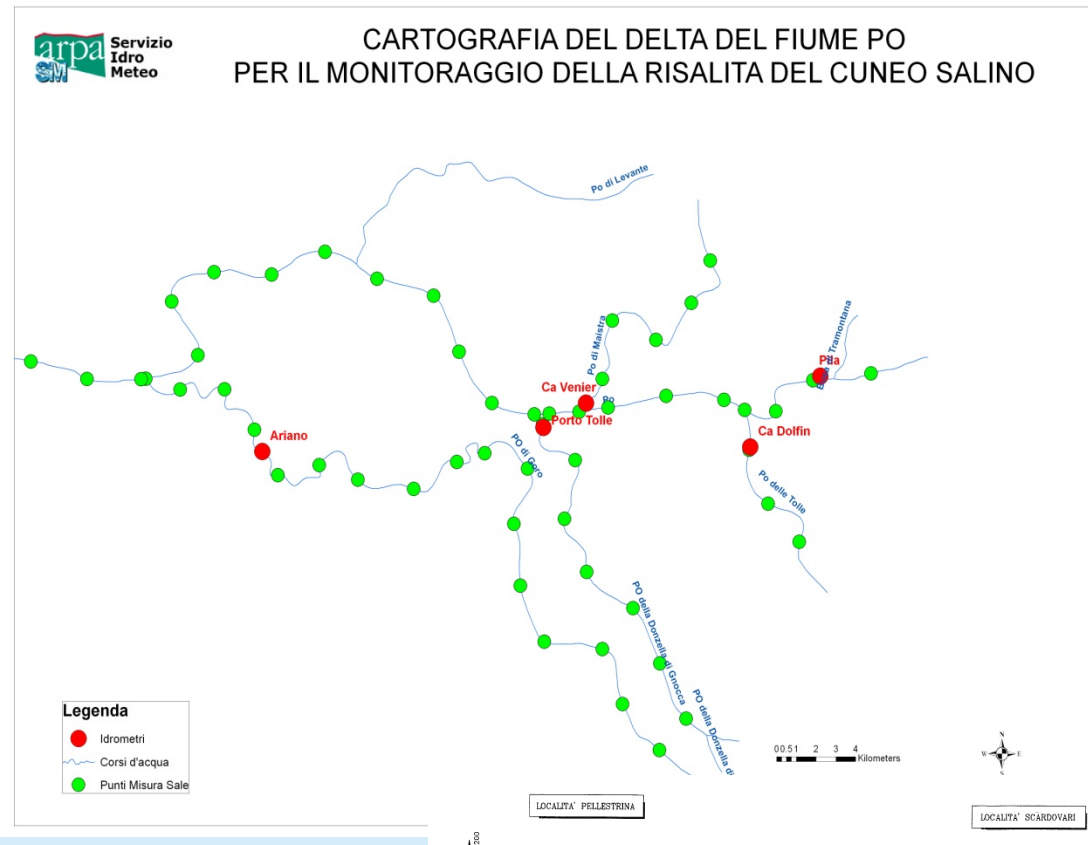
# Intrusione del cuneo salino nel delta del Po



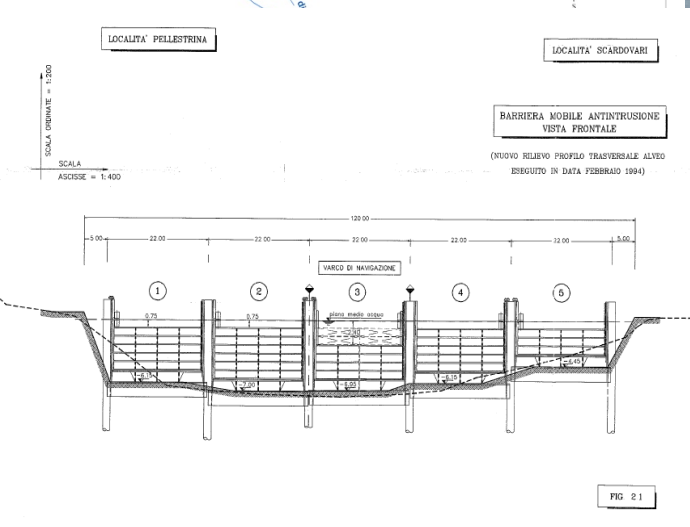
#### Schematizzazione del delta con il modello SOBEK



#### Calibrazione mediante misure di salinità



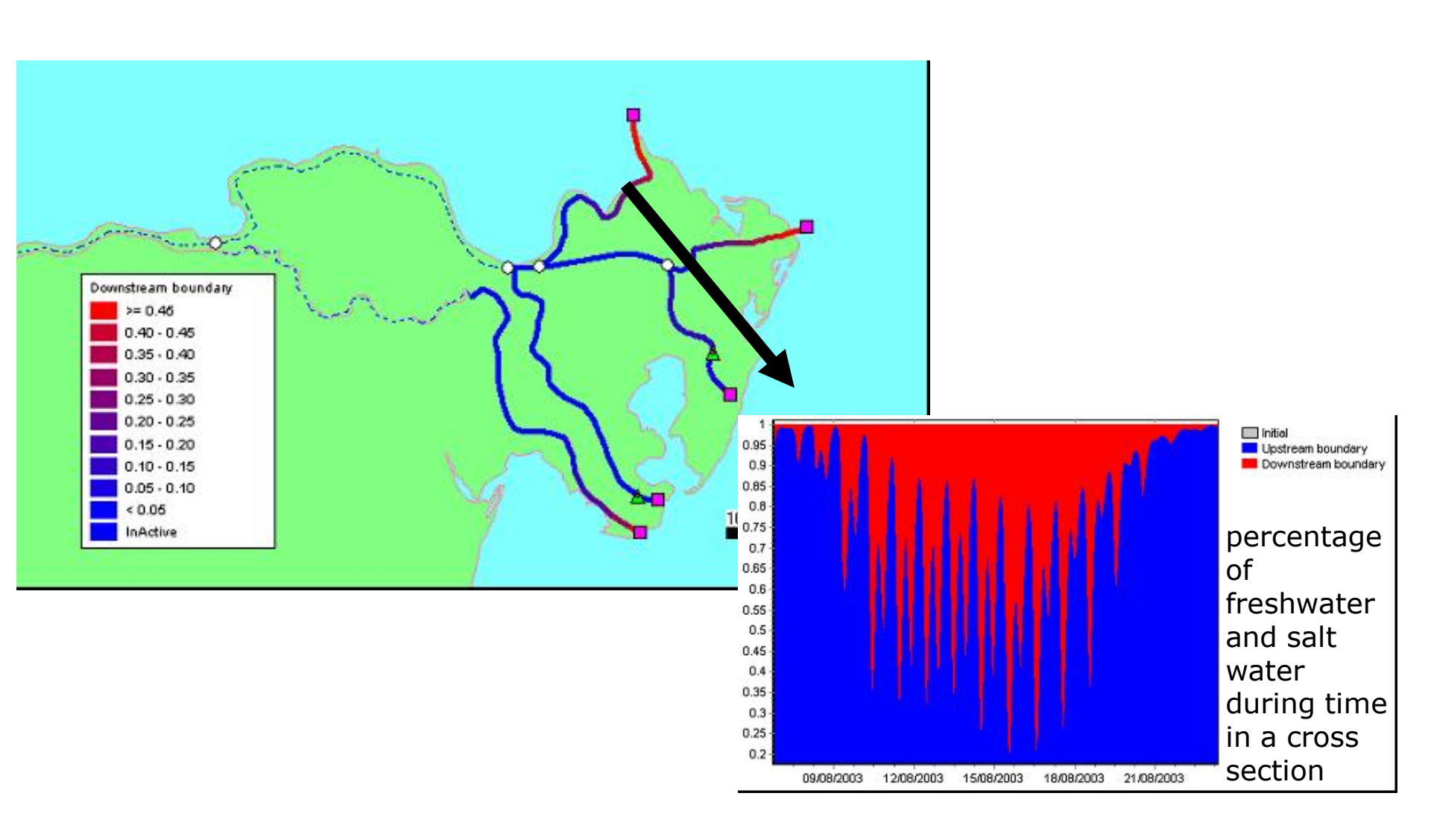
Nel modello viene considerato l'effetto delle <u>barriere antisale</u> del Po di Tolle e del Po di Gnocca



Sono state effettuate misure di conducibilità risalendo contemporaneamente i 5 rami del delta determinando così l'ingressione del cuneo salino



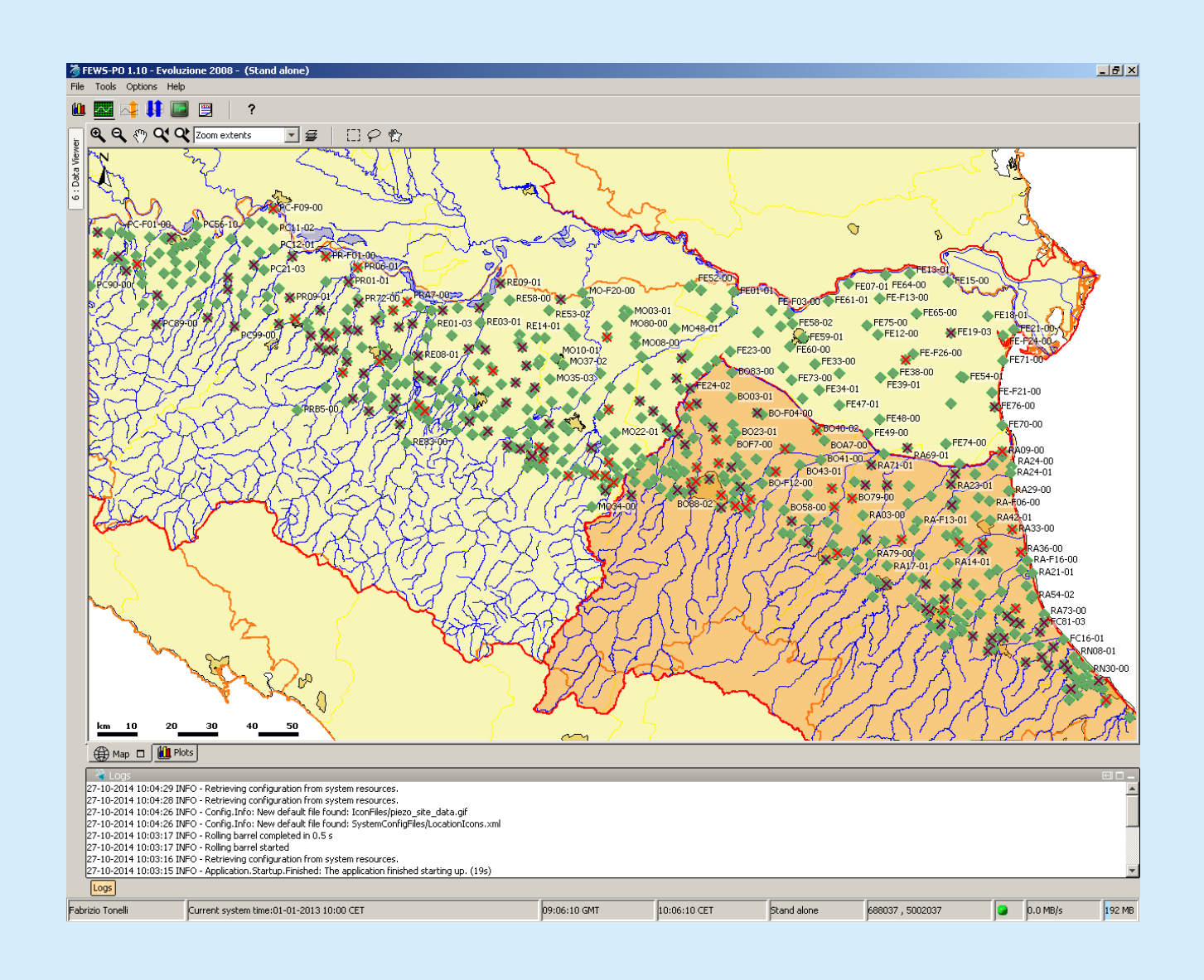
#### Simulatione di un evento di intrusione salina



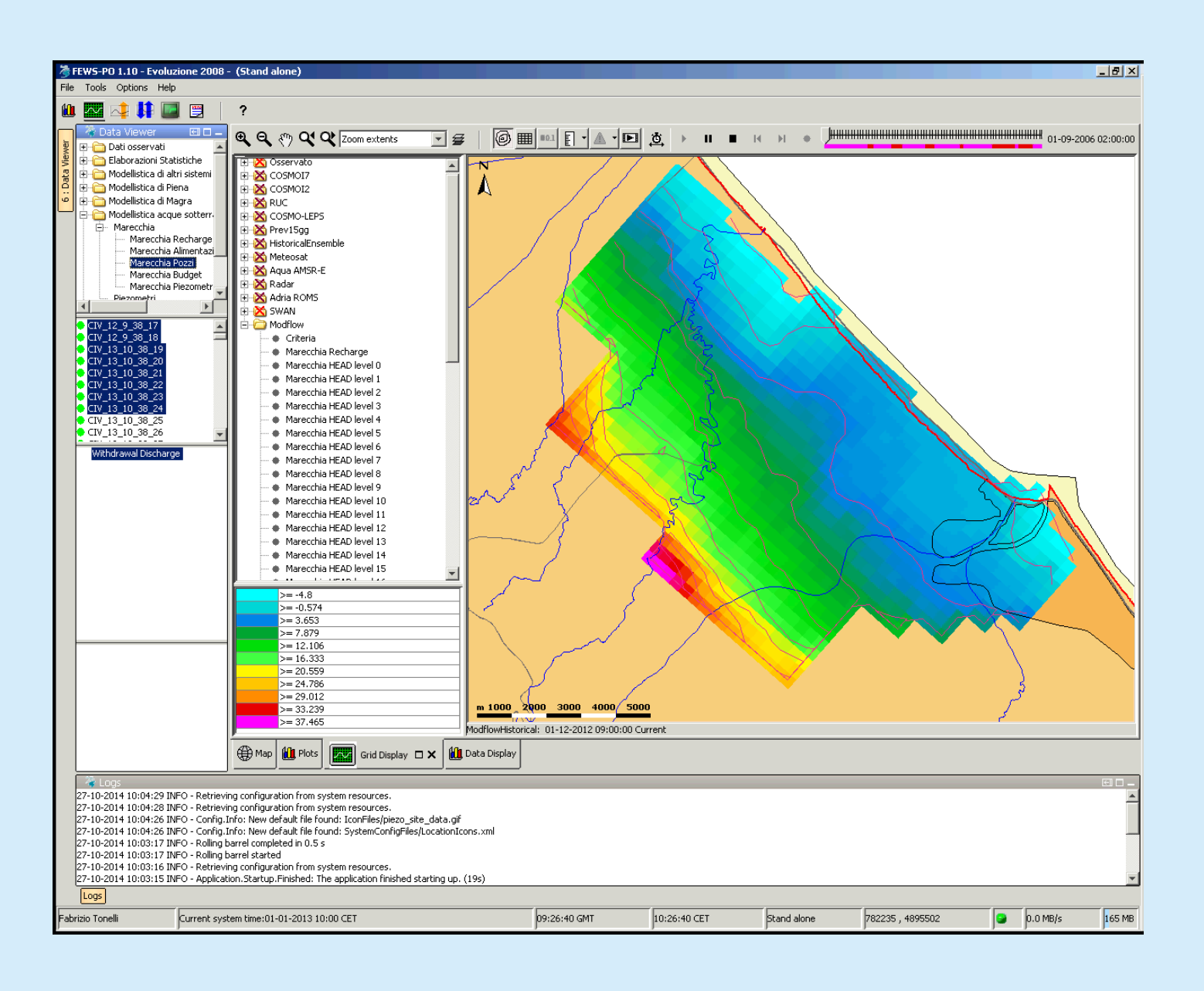
# ACQUE SUPERFICIALI E SOTTERRANEE recenti sviluppi



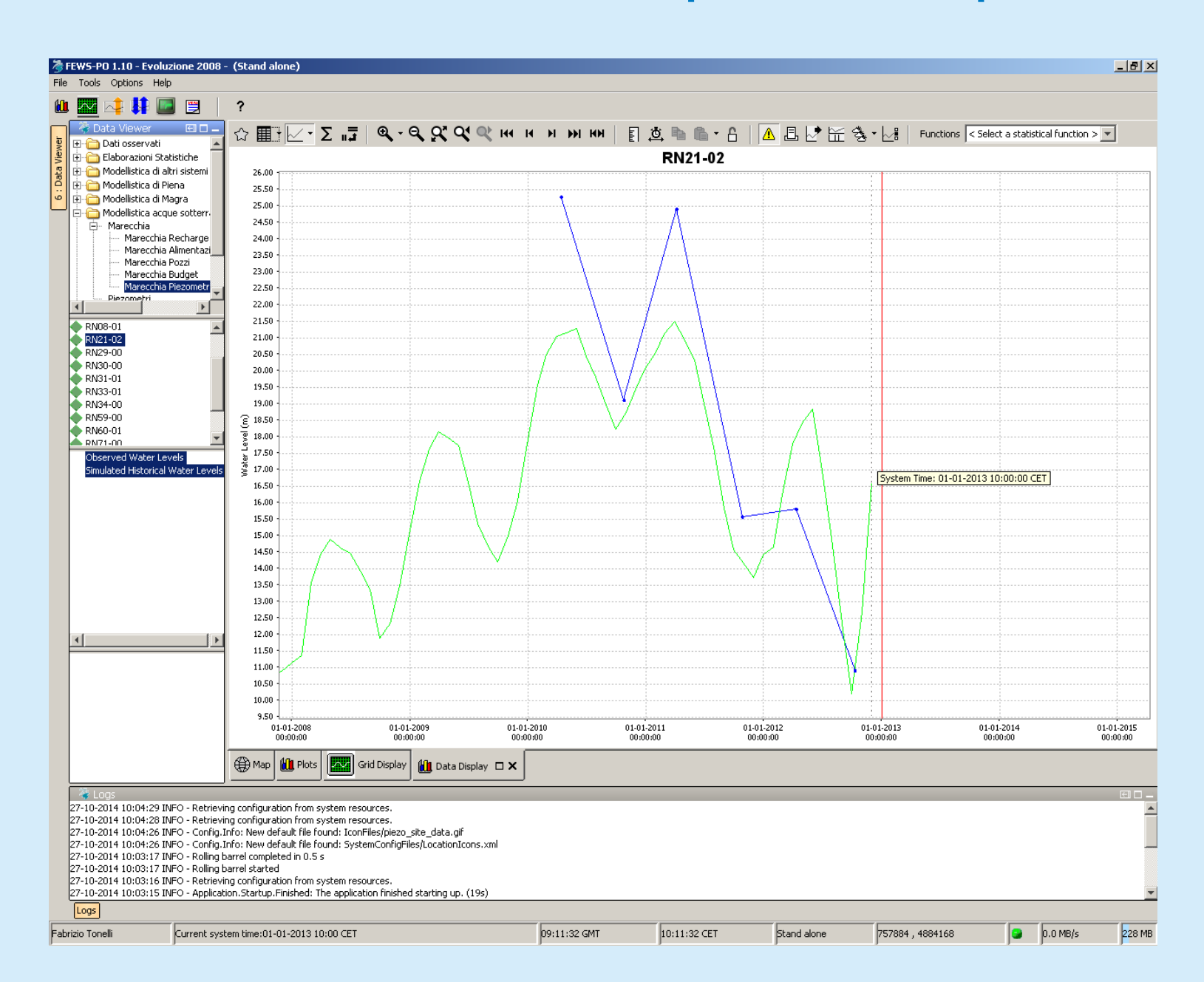
### La rete osservativa delle acque sotterranee



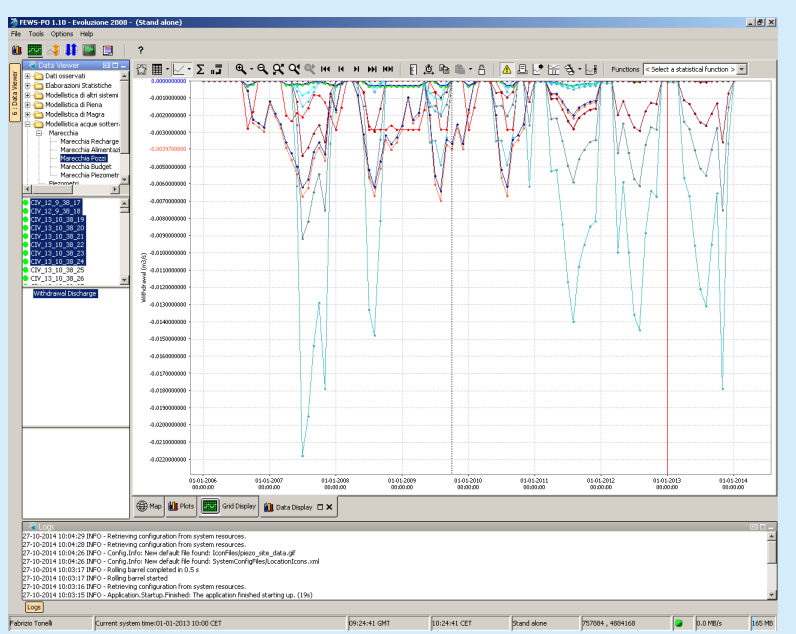
### Integrazione del modello MODFLOW

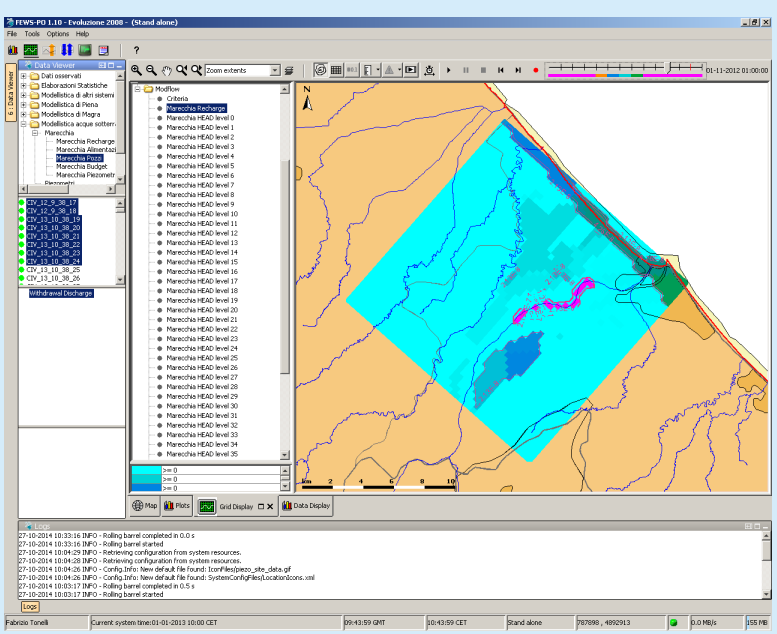


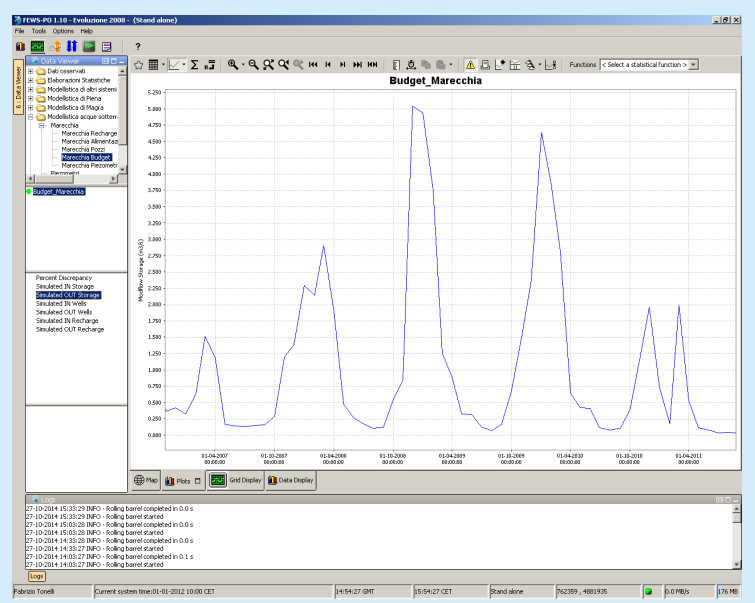
#### Confronto osservato-simulato in corrispondenza dei pozzi di misura



### Scenari what-if con ipotesi di prelievo







# Sistema di Contabilità Ambientale-Economico per l'Acqua (SEEAW) recenti sviluppi





Home

Databases

Publications Methods & Classifications

Meetings & Events

Newsletters

[Site search]

Go

You are here: SEEA >> Water >> SEEA-Water

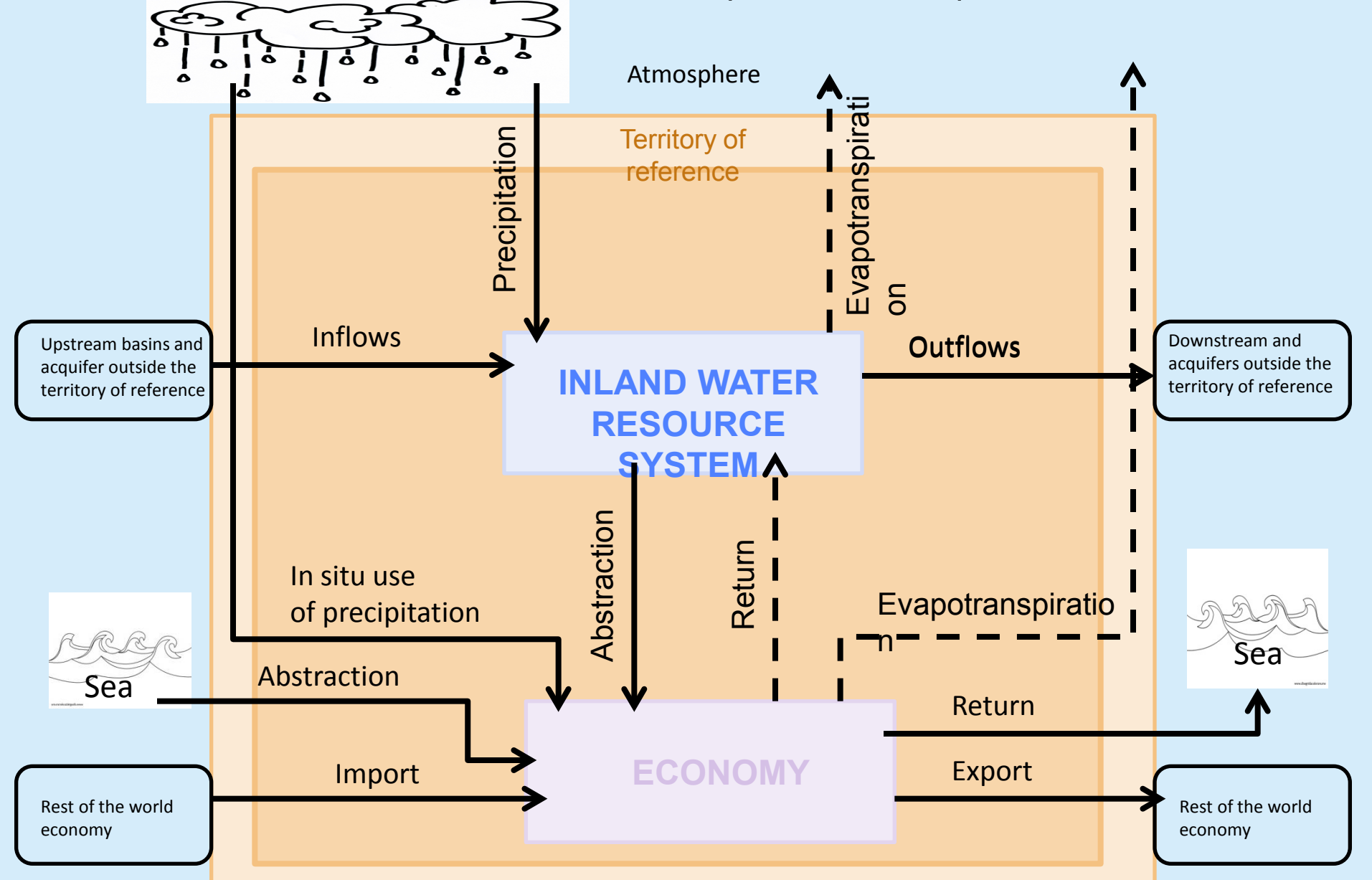
Home

System of Environmental-Economic Accounting for Water (SEEA-Water)

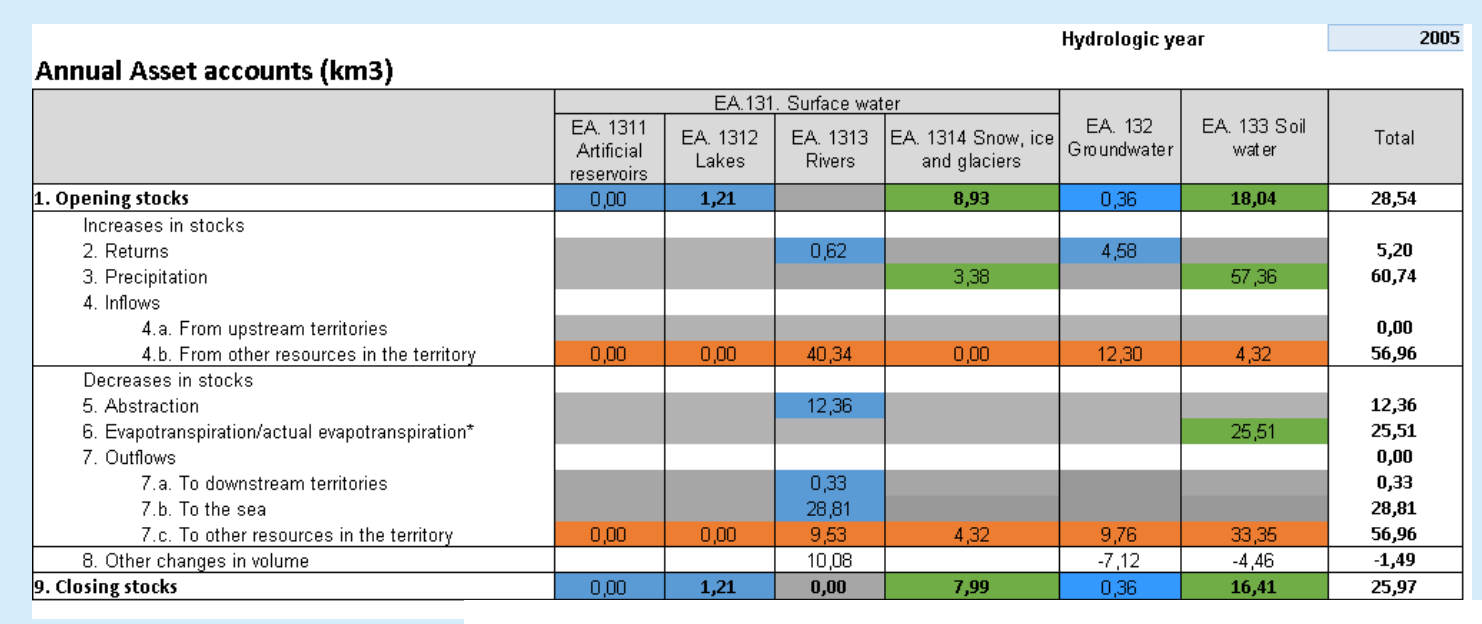
Il System of Environmental-Economic Accounting for Water (SEEA-Water) fornisce un quadro concettuale di organizzazione delle informazioni idrologiche ed economiche in modo coerente e costante.

E'una elaborazione del *Handbook of National Accounting: Integrated Environmental and Economic Accounting*, (SEEA-2003), che descrive l'interazione tra l'economia e l'ambiente, che copre l'intero spettro delle risorse naturali e l'ambiente.

SEEA-Water integra informazioni fisiche (idrologiche) ed economiche relative al consumo di acqua e l'uso, per un governo dell'acqua equo e trasparente per tutti gli utenti e un bilancio idrico sostenibile tra la disponibilità di acqua, domanda e offerta



SEEA-Water si compone di un insieme di tabelle standard che descrivono informazioni idrologiche, economiche e sociali al fine di consentire l'analisi delle interazioni tra l'acqua e l'economia, da cui derivare indicatori ambientali ed economici e per la compilazione di statistiche.



Annual Asset Accounts

01/09/2005

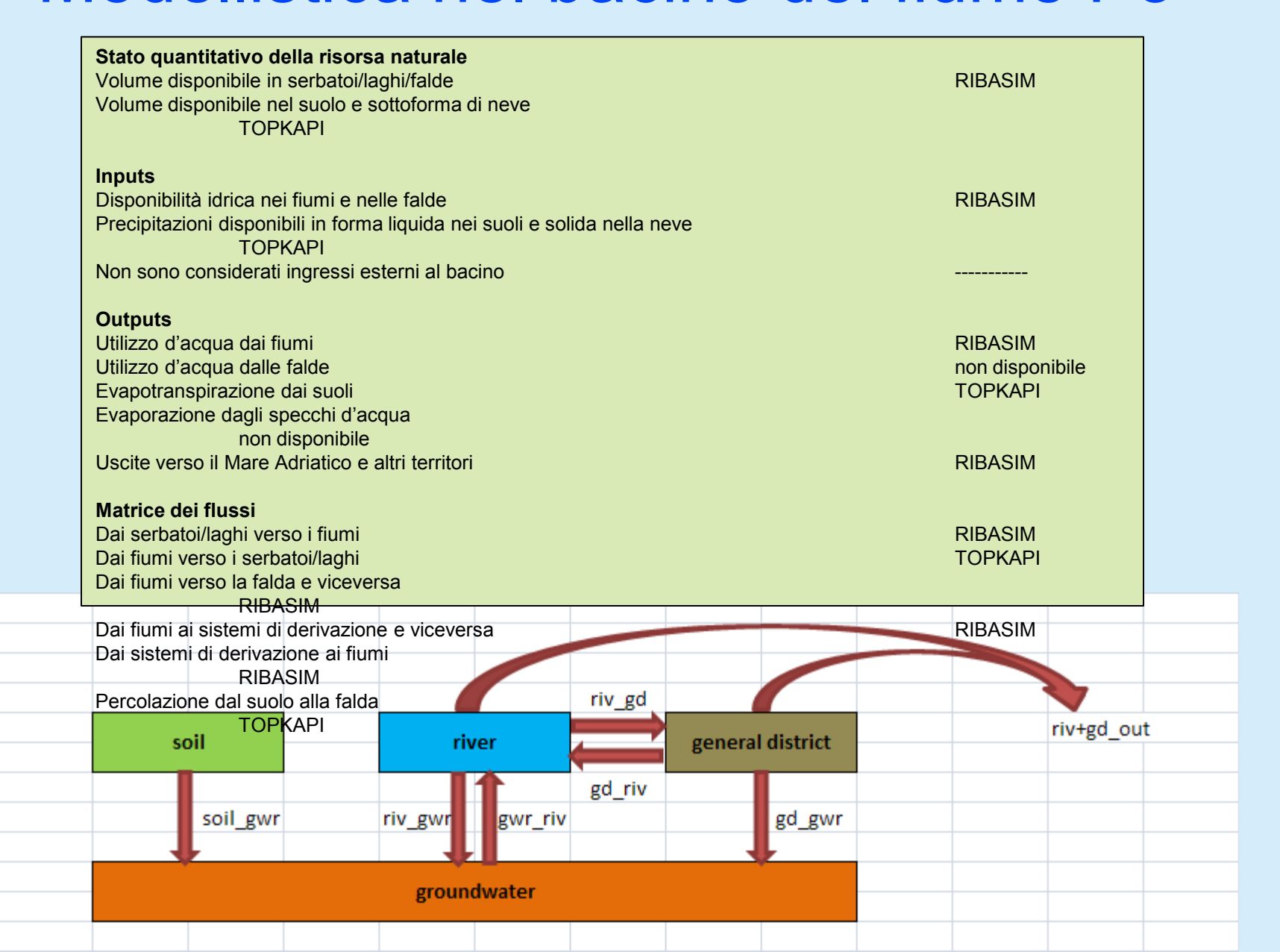
01/10/2005

10

#### Monthly Asset Accounts

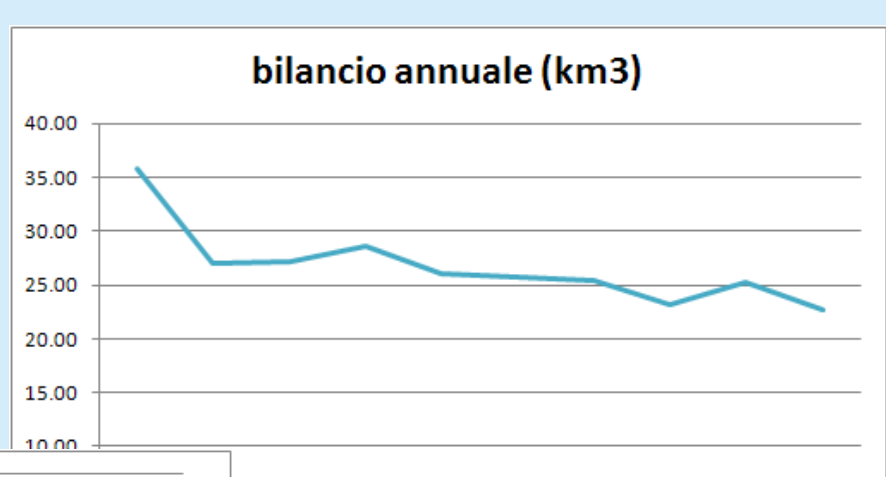
Asset accounts (km3)							
		EA.131, Surface water					
	EA. 1311 Artificial reservoirs	EA. 1312 Lakes	EA. 1313 Rivers	EA. 1314 Snow, ice and glaciers	EA. 132 Groundwater	EA. 133 Soil water	Total
1. Opening stocks		1,21		8,93	0,36	18,04	28,54
Increases in stocks							
2. Returns			0,03		0,25		0,29
3. Precipitation				0,18		7,35	7,53
4. Inflows							
4.a. From upstream territories							0,00
4.b. From other resources in the territory	0,00	0,00	4,30	0,00	1,17	0,00	5,46
Decreases in stocks							
5. Abstraction			0,47				0,47
Evapotranspiration/actual evapotranspiration*						2,29	2,29
7. Outflows							0,00
7.a. To downstream territories			0,01				0,01
7.b. To the sea			3,47				3,47
7.c. To other resources in the territory	0,00	0,00	0,91	00,00	0,83	3,72	5,46
8. Other changes in volume			0,53		-0,58	-0,40	-0,45
9. Closing stocks		1,21		9,11	0,37	18,97	29,66

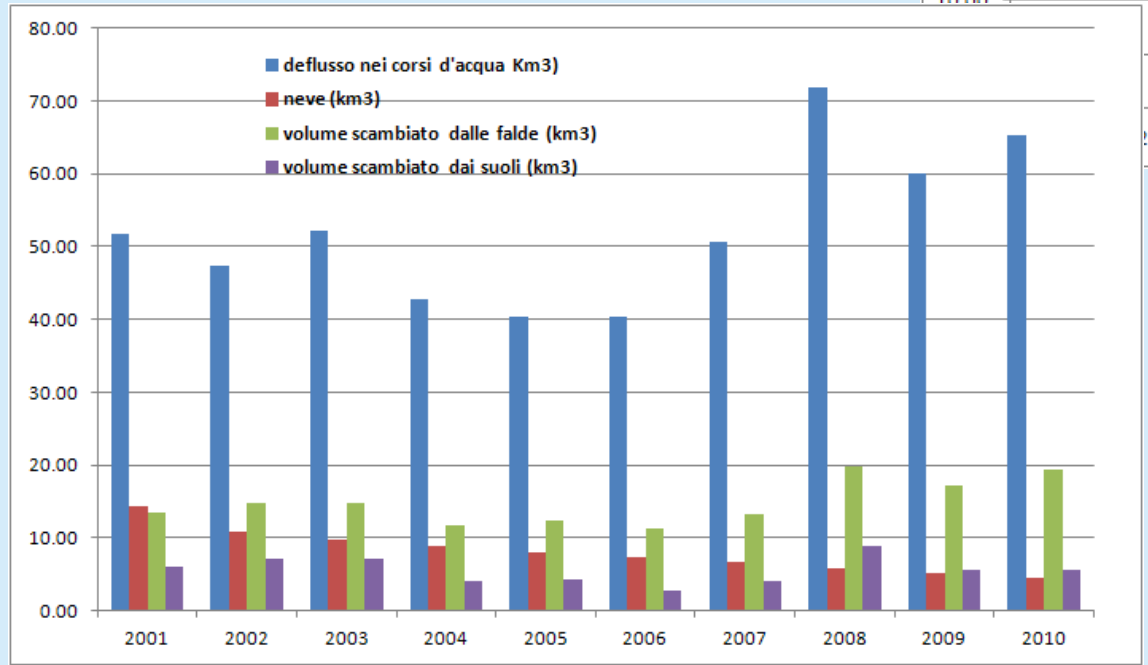
### Modellistica nel bacino del fiume Po



## Alcuni risultati iniziali...

Risulta evidente un generale decremento dei volumi conservati nelle diverse componenti ambientali





Le fasi di scarsità idrica (specie se prolungate nel tempo) sono ben evidenziate da diminuzioni negli scambi tra le diverse componenti ambientali

2006

2007

2008

2010

#### **Water World Online**

Connettere persone ovunque con dati idrologici, mappe e modelli

